

## บทที่ 4

### ผลการทดลองและวิจารณ์

#### 4.1 สภาพแวดล้อมในการทดลอง

##### 4.1.1 การวัดการกระจายลมภายในห้องอบ

การกระจายลมภายในห้องอบของความเร็วลมที่ 1 เมื่อมีทิศทางลมขึ้นพบร่วมกับการกระจายของลมภายในชั้นถ้าด้านจากทางผังด้านข้างคือ ด้านนอก(ติดประตู) ตรงกลาง และด้านใน (ติดผังด้านหลัง) มีความเร็วลมเฉลี่ยคือ 0.6, 0.7 และ 0.4 m/s ตามลำดับ ส่วนการกระจายลมภายในชั้นถ้าด้านจากทางผังด้านขวาคือ ด้านนอก(ติดประตู) ตรงกลาง และด้านใน (ติดผังด้านหลัง) มีความเร็วลมเฉลี่ยคือ 0.5, 0.4 และ 0.2 m/s ตามลำดับ

เมื่อมีทิศทางลมลงพบร่วมกับการกระจายของลมภายในชั้นถ้าด้านจากทางผังด้านข้างคือ ด้านนอก(ติดประตู) ตรงกลาง และด้านใน (ติดผังด้านหลัง) มีความเร็วลมเฉลี่ยคือ 0.6, 0.7 และ 0.3 m/s ตามลำดับ ส่วนการกระจายลมภายในชั้นถ้าด้านจากทางผังด้านขวาคือ ด้านนอก(ติดประตู) ตรงกลาง และด้านใน (ติดผังด้านหลัง) มีความเร็วลมเฉลี่ยคือ 0.5, 0.4 และ 0.2 m/s ตามลำดับ ทิศทางลมลงและทิศทางลมขึ้นมีความเร็วลมเฉลี่ยคือ 0.45 และ 0.44 m/s ตามลำดับ(ตารางที่ 4.1)

ดังนั้นความเร็วลมที่ 1 มีค่าเฉลี่ยรวมคือ 0.45 m/s การกระจายของลมภายในชั้นถ้าด้านจากทางผังด้านข้างและผังด้านขวา พบร่วมกับด้านนอก (ติดประตู) และตรงกลางการให้ลมผ่านช่องลมจะดีกว่าด้านใน(ติดผังด้านหลัง) และเมื่อเปรียบเทียบการให้ลมของชั้นที่ 1 ไม่มีความแตกต่างกันมากนัก แต่ด้านในของชั้นที่ 1, 2, 7 และ 8 ทั้งทิศทางลมขึ้นและลมลงมีการให้ลมผ่านช่องลมที่ดีได้มีค่าประมาณ 0.1 m/s ซึ่งน้อยกว่าชั้นที่ 3 – 6 ซึ่งมีค่าเฉลี่ยประมาณ 0.4 m/s ทั้งนี้อาจเนื่องจากตำแหน่งพัดลมอยู่ตรงกลางด้านหลังของห้องอบ ระยะทางในการให้ลมไปยังชั้นที่ 1, 2, 7 และ 8 จะใกล้กว่าชั้นที่อยู่ตรงกลาง นอกจากนี้ปีกผีเสื้อที่กันตรงช่องลมขาเข้า เครื่องประมาณ 45 องศา อาจจะไม่ผลในการต้านการให้ลมของชั้นที่จะผ่านเข้าสู่ห้องอบได้

การกระจายลมภายในห้องอบของความเร็วลมที่ 2 เมื่อมีทิศทางลมเข้าพบว่า การกระจายของลมภายในชั้นถัดจากทางผนังด้านข้างคือ ด้านนอก(ติดประตู) ตรงกลาง และด้านใน (ติดผนังด้านหลัง) มีความเร็วลมเฉลี่ยคือ 1.1, 1.0 และ 0.9 m/s ตามลำดับ ส่วนการกระจายลมภายในชั้นถัดจากทางผนังด้านขวาคือ ด้านนอก(ติดประตู) ตรงกลาง และด้านใน (ติดผนังด้านหลัง) มีความเร็วลมเฉลี่ยคือ 1.0, 0.9 และ 0.5 m/s ตามลำดับ

เมื่อมีทิศทางลมลงพบว่าการกระจายของลมภายในชั้นถัดจากทางผนังด้านข้างคือ ด้านนอก(ติดประตู) ตรงกลาง และด้านใน (ติดผนังด้านหลัง) มีความเร็วลมเฉลี่ยคือ 1.0, 1.0 และ 0.5 m/s ตามลำดับ ส่วนการกระจายลมภายในชั้นถัดจากทางผนังด้านขวาคือ ด้านนอก(ติดประตู) ตรงกลาง และด้านใน (ติดผนังด้านหลัง) มีความเร็วลมเฉลี่ยคือ 0.8, 0.8 และ 0.6 m/s ตามลำดับ และทิศทางลมลงและทิศทางลมขึ้นมีความเร็วลมเฉลี่ยคือ 0.89 และ 0.86 m/s ตามลำดับ (ตารางที่ 4.2)

ดังนั้นความเร็วลมที่ 2 มีค่าเฉลี่ยรวมคือ 0.88 m/s การกระจายของลมภายในชั้นทั้งจากทางผนังด้านข้างและผนังด้านขวาค่อนข้างใกล้เคียงกัน การไหลของลมผ่านด้านนอก (ติดประตู) ตรงกลาง และด้านใน (ติดผนังด้านหลัง) มีค่าที่ค่อนข้างสม่ำเสมอ กัน และในแต่ละชั้นความเร็วลมที่วัดได้ก็ไม่แตกต่างกันมากนัก พบร่องบางจุดคือชั้นที่ 7 และ 8 ในตำแหน่งด้านใน (ติดผนังด้านหลัง) ของทิศทางลมขึ้นผนังด้านข้าง ที่มีความเร็วลมเฉลี่ยประมาณ 0.1 m/s จากผลการวัดค่าเฉลี่ยความเร็วลมที่ 2 มีมากเป็น 2 เท่าของค่าเฉลี่ยความเร็วลมที่ 1 สำหรับการปีบปอกผื่นเสื้อในความเร็วลมที่ 2 มีลักษณะขานรำไปตามท่อลมขาเข้าการไหลผ่านของลมเข้ามาในห้องอบจึงดีกว่า

#### ๔.๑ การก่อสร้างและแก้ไขท่อระบายน้ำห้องน้ำ

ชั้น	ความเร็วเฉลี่ย , (m/s)										ผลิตภัณฑ์	
	ผู้ต้องดูแล					ผู้ดูแลในครัว						
	ผู้ต้องดูแลในครัว		ผู้ดูแลในครัว			ผู้ดูแลในครัว		ผู้ดูแลในครัว				
	นาที	กิโลกรัม	ใน	เฉลี่ย	นาที	กิโลกรัม	ใน	เฉลี่ย	นาที	กิโลกรัม	ใน	
1	0.5	0.5	0.2	0.4	0.2	0.1	0.2	0.3	0.5	0.1	0.4	
2	0.9	0.7	0.1	0.6	0.4	0.3	0.1	0.3	1.0	0.7	0.1	
3	0.5	0.7	0.6	0.6	0.4	0.5	0.3	0.4	0.5	0.7	0.6	
4	0.6	0.7	0.7	0.7	0.5	0.5	0.4	0.5	0.5	0.7	0.7	
5	0.7	0.7	0.6	0.7	0.6	0.5	0.2	0.4	0.6	0.7	0.7	
6	0.4	0.8	0.4	0.5	0.5	0.4	0.3	0.4	0.5	0.8	0.5	
7	0.6	0.7	0.1	0.5	0.4	0.1	0.3	0.4	0.5	0.7	0.6	
8	0.5	0.5	0.1	0.4	0.6	0.5	0.1	0.4	0.4	0.5	0.6	
เฉลี่ย	0.6	0.7	0.4	0.5	0.5	0.4	0.2	0.4	0.6	0.7	0.3	
									0.5	0.5	0.4	
									0.2	0.2	0.3	
									0.4	0.4	0.4	
									0.44			
										0.45	0.45	

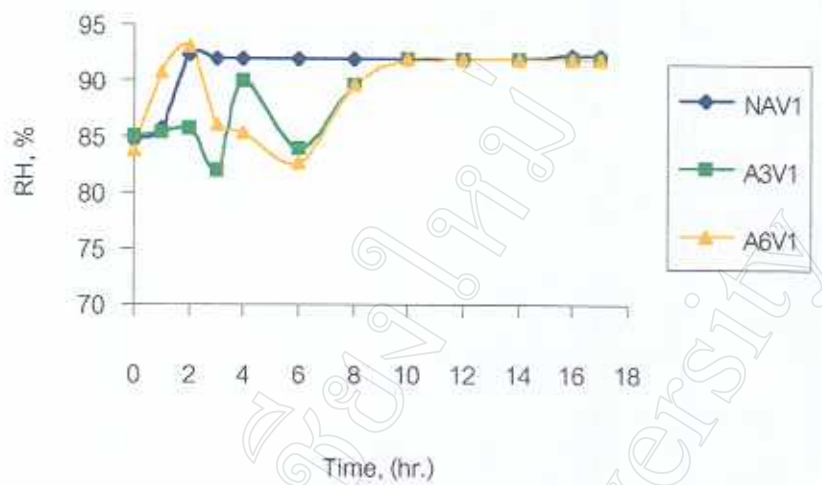
ตารางที่ 4.2 การกรະ眷ยตุนภัยให้อหงกบ เมื่อปัจจุบันมีเมืองติดต่อกันแล้วที่ 2

#### 4.1.2 ความชื้นสัมพัทธ์ของอากาศภายนอก

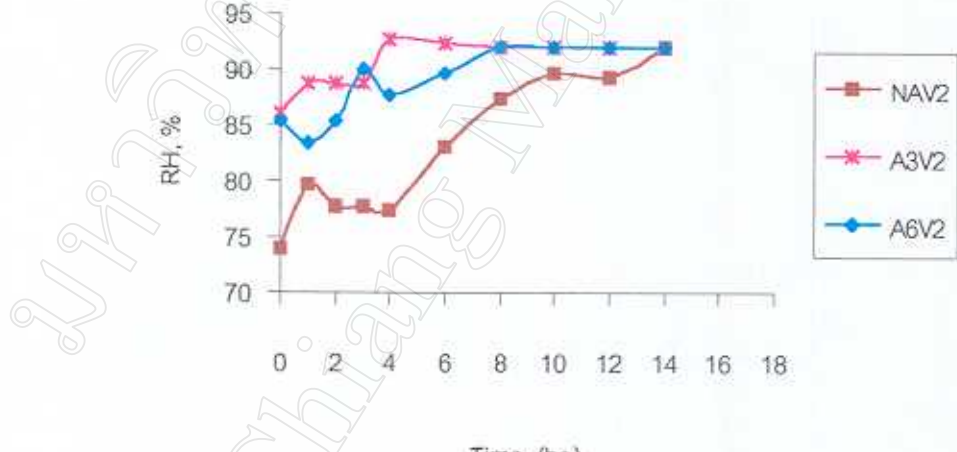
จากการเก็บข้อมูลอุณหภูมิของอากาศโดยใช้เทอร์โมมิเตอร์แบบกระปาเปี๊ยก และกระปาแห้ง ทำให้ทราบค่าความชื้นสัมพัทธ์ของอากาศ (ตารางภาคผนวกที่ 1) ในการทดลอง NAV1 มีค่าความชื้นสัมพัทธ์เฉลี่ยในช่วง惰 84.7 % และมีค่าเพิ่มขึ้นเมื่อเริ่มเข้าช่วง惰 2 จนสิ้นสุดการอบมีค่าความชื้นสัมพัทธ์เฉลี่ยมีค่าคือ 92.0 – 92.3 % ส่วนการทดลอง A3V1 และ A6V1 มีค่าความชื้นสัมพัทธ์เฉลี่ยในช่วง惰 85.0 % และ 83.7 % ตามลำดับ หลังจาก ช่วง惰 1 ค่าความชื้นสัมพัทธ์เฉลี่ยก็จะเพิ่มขึ้นและลดลงบ้างในช่วง惰 โดยชี้นักบุญหภูมิของอากาศ จนเมื่อเข้าในช่วงกลางคืน(เริ่มตั้งแต่ช่วง惰 10) มีค่าความชื้นสัมพัทธ์เฉลี่ยประมาณ 92.0% จนสิ้นสุดการทดลอง (รูปที่ 4.1)

สำหรับการทดลอง NAV2 ตั้งแต่เข้าช่วง惰 1 – 4 มีความชื้นสัมพัทธ์เฉลี่ยอยู่ในช่วง 74.0 – 77.3 % ซึ่งต่ำกว่าความชื้นสัมพัทธ์เฉลี่ยของการทดลอง A3V2 และ A6V2 ซึ่งอยู่ในช่วง 86 – 92.7 % และ 83.3 – 90.0 % ตามลำดับ เมื่อเข้าช่วง惰 8 – 12 ความชื้นสัมพัทธ์เฉลี่ยของการทดลอง A3V2 และ A6V2 จะมีค่าประมาณ 92 % ต่างจากการทดลอง NAV2 ที่มีค่าความชื้นสัมพัทธ์เฉลี่ยต่ำกว่าซึ่งอยู่ในช่วงระหว่าง 87.3 – 89.3 % (รูปที่ 4.2)

ในทุกการทดลองคือ NAV1, A3V1, A6V1, NAV2, A3V2 และ A6V2 พบร่วมกัน ความชื้นสัมพัทธ์เฉลี่ยในแต่ละช่วงเวลาของการอบจะมีค่าที่แตกต่างกัน โดยจะเปลี่ยนแปลงไปตามอุณหภูมิของอากาศในช่วงเวลาของวัน ซึ่งสอดคล้องกับ Hieu et al.(1996) ที่กล่าวว่า อุณหภูมิและความชื้นสัมพัทธ์ของอากาศจะเปลี่ยนแปลงไปตามช่วงเวลาทั้ง 24 ชั่วโมง โดยเก็บข้อมูลเดือนสิงหาคมในประเทศไทย คือช่วงกลางคืนจนถึงช่วงเช้าพบว่าความชื้นสัมพัทธ์ของอากาศมีค่าสูงคือ 90 – 97 % และในช่วงกลางวันความชื้นสัมพัทธ์ของอากาศจะมีค่าต่ำกว่าคือ 75 – 85 % ค่าความชื้นสัมพัทธ์ของอากาศที่มีค่าสูงน่าจะเป็นปัจจัยหนึ่งมีผลต่อของการระเหยน้ำ การที่ในอากาศมีไอน้ำมากความสามารถที่จะรับไอน้ำก็จะน้อยลงเป็นไปตามแผนภูมิ ไฮโครเมตริการ์ท และยังชี้นักบุญหภูมิของอากาศขณะนั้นด้วย



รูปที่ 4.1 การเปลี่ยนแปลงความชื้นสัมพัทธ์ของอากาศเมื่อใช้ความเร็วลมที่ 1

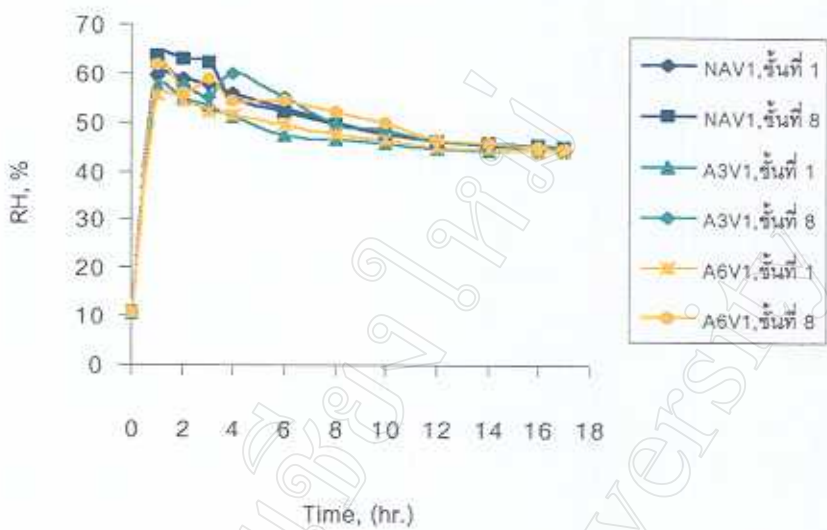


รูปที่ 4.2 การเปลี่ยนแปลงความชื้นสัมพัทธ์ของอากาศเมื่อใช้ความเร็วลมที่ 2

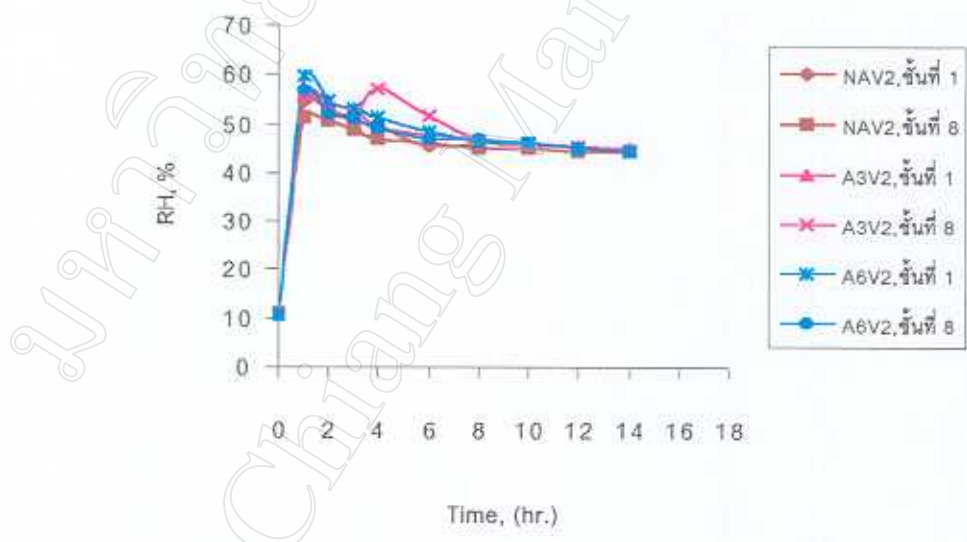
#### 4.2 การเปลี่ยนแปลงความชื้นสัมพัทธ์ภายในตู้อบ

จากการเก็บข้อมูลความชื้นสัมพัทธ์ของอากาศภายในตู้อบโดยใช้ Hygrometer ว่างไว้ที่ ตำแหน่งชั้นที่ 1 และชั้นที่ 8 (ตารางภาคผนวกที่ 2) พบร่วมกับการทดลองความชื้นสัมพัทธ์ของอากาศภายในตู้อบจะมีค่าสูงในช่วงแรก เนื่องจากมีการระเหยน้ำออกจากผลผลิตมากและลดลงเรื่อยๆตามระยะเวลาการอบแห้ง ในช่วงแรกความชื้นสัมพัทธ์เฉลี่ยที่เข้าสู่ห้องอบของการทดลอง NAV1, A3V1 และ A6V1 จะมีค่าต่ำคือ 10.8, 10.5 และ 10.9 % ตามลำดับ (รูปที่ 4.3) แต่เมื่อเข้าช่วงโมงที่ 1 ความชื้นสัมพัทธ์ของอากาศภายในตู้อบก็จะเพิ่มขึ้นเนื่องจากมีการระเหยน้ำอากาศที่แห้งมีการรับไอน้ำเกิดขึ้น และเมื่อระยะเวลาผ่านไปความชื้นสัมพัทธ์ของอากาศภายในตู้อบก็จะมีค่าที่ลดลง แต่ในการทดลอง A3V1 พบร่วมกับความชื้นสัมพัทธ์เฉลี่ยในชั้นที่ 8 ในช่วงโมงที่ 4 จะเพิ่มขึ้นเล็กน้อย อาจเนื่องมาจากการสลับลม โดยใน 3 ชั่วโมงแรกการระเหยของน้ำในชั้นล่างอาจขึ้นกว่า เพราะต้องผ่านหลายถ้วยก่อนที่ถึงทางลมร้อนออก เมื่อสลับลมให้ออกทางด้านล่างทำให้อากาศชื้นจากชั้นบนมาสะสมกับด้านล่างซึ่งทำให้ความชื้นสัมพัทธ์เพิ่มขึ้น แต่เมื่อถึงช่วงโมงที่ 6 ความชื้นสัมพัทธ์ในชั้นที่ 8 ก็จะลดลงเช่นเดียวกับการทดลองอื่นๆ เมื่อสิ้นสุดการทดลองความชื้นสัมพัทธ์ชั้นที่ 1 ของการทดลอง NAV1, A3V1 และ A6V1 มีค่าเฉลี่ยคือ 44.8, 44.3 และ 45.00 % ตามลำดับ ส่วนความชื้นสัมพัทธ์ชั้นที่ 8 มีค่าเฉลี่ยคือ 45.0, 45.0 และ 44.8 % ตามลำดับ

ในช่วงโมงเริ่มต้นความชื้นสัมพัทธ์เฉลี่ยที่เข้าสู่ห้องอบของการทดลอง NAV2, A3V2 และ A6V2 จะมีค่าต่ำคือ 10.9, 10.8 และ 10.9 % ตามลำดับ (รูปที่ 4.4) และเมื่อเข้าช่วงโมงที่ 1 ความชื้นสัมพัทธ์ของอากาศภายในตู้อบก็จะเพิ่มขึ้นและมีแนวโน้มลดลงในช่วงโมงต่อมา ในการทดลอง A3V2 พบร่วมกับความชื้นสัมพัทธ์เฉลี่ยในชั้นที่ 8 ในช่วงโมงที่ 4 จะเพิ่มขึ้นเล็กน้อยอาจเกิดจากการสลับลม แต่เมื่อถึงช่วงโมงที่ 6 ความชื้นสัมพัทธ์ในชั้นที่ 8 ก็จะลดลงเช่นเดียวกับการทดลองอื่นๆ ใน การทดลอง NAV2, A3V2 และ A6V2 เมื่อสิ้นสุดการทดลองความชื้นสัมพัทธ์ชั้นที่ 1 มีค่าเฉลี่ยคือ 45.0, 45.0 และ 44.17 % ตามลำดับ ส่วนความชื้นสัมพัทธ์ชั้นที่ 8 มีค่าเฉลี่ยคือ 44.3, 44.8 และ 44.5 % ตามลำดับ



รูปที่ 4.3 การเปลี่ยนแปลงความชื้นสัมพันธ์ภายในตู้อบเมื่อใช้ความเร็วลมที่ 1



รูปที่ 4.4 การเปลี่ยนแปลงความชื้นสัมพันธ์ภายในตู้อบเมื่อใช้ความเร็วลมที่ 2

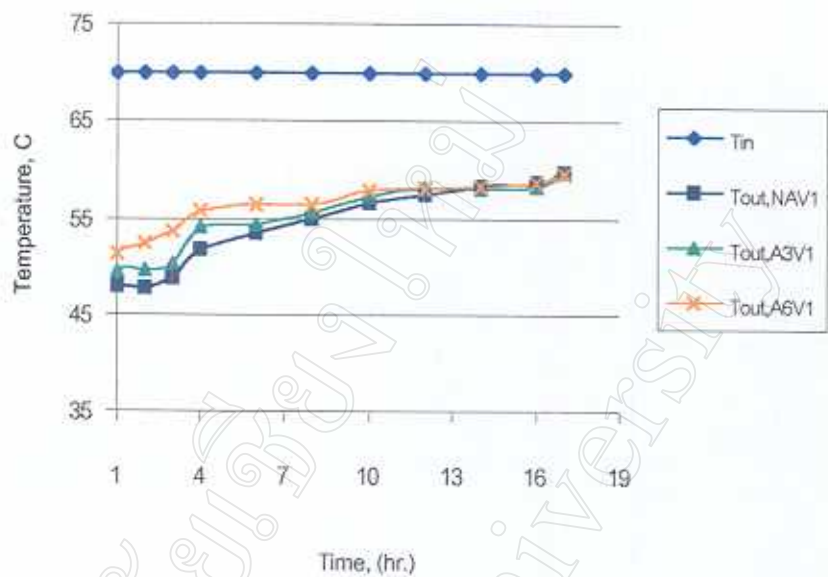
### 4.3 การเปลี่ยนแปลงอุณหภูมิในระหว่างการทดลอง

#### 4.3.1 อุณหภูมิลดร้อนขาเข้าและขาออก

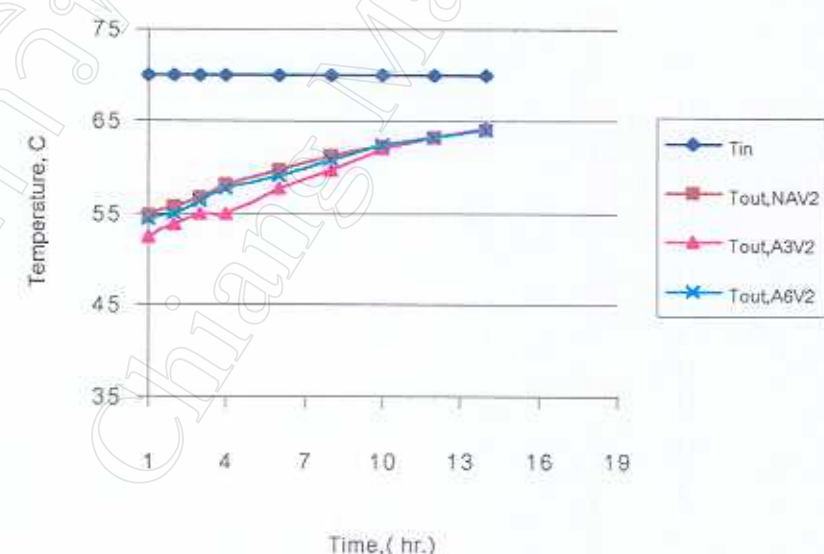
ในการทดลอง NAV1, A3V1 และ A6V1 อุณหภูมิลดร้อนขาเข้าจะคงที่ตลอดคือประมาณ  $70 \pm 1^{\circ}\text{C}$  ในชั่วโมงที่ 1 มีอุณหภูมิขาออกเฉลี่ยคือ 48.0, 49.3 และ  $51.3^{\circ}\text{C}$  ตามลำดับ โดยอุณหภูมิขาออกในช่วงแรกจะต่ำกว่าอุณหภูมิลดร้อนขาเข้าอยู่มาก (รูปที่ 4.5) เนื่องจากมีการระเหยน้ำในช่วงแรกเกิดขึ้นสูง หลังจากเวลาผ่านไปอุณหภูมิลดร้อนขาออกเฉลี่ยจะสูงขึ้นเรื่อยๆ จนสิ้นสุดการทดลองในชั่วโมงที่ 17 มีค่าเฉลี่ยคือ 59.7, 59.7 และ  $59.5^{\circ}\text{C}$  ตามลำดับ แต่ยังคงต่ำกว่าอุณหภูมิลดร้อนขาเข้า เมื่อคำนวณความสั้นลดลงมากแล้ว ความร้อนที่จะใช้ในการระเหยน้ำก็จะลดลง ทำให้มีอุณหภูมิสูงขึ้น

ในการทดลอง NAV2, A3V2 และ A6V2 อุณหภูมิลดร้อนขาเข้าจะคงที่ตลอดคือประมาณ  $70 \pm 1^{\circ}\text{C}$  ในชั่วโมงที่ 1 มีอุณหภูมิขาออกเฉลี่ยคือ 51.3, 49.3 และ  $51.7^{\circ}\text{C}$  ตามลำดับ (รูปที่ 4.6) มีการเพิ่มขึ้นของอุณหภูมิลดร้อนขาออกในชั่วโมงต่อมาอย่างรวดเร็ว เนื่องจากการระเหยน้ำในช่วงแรกเกิดขึ้นสูง หลังจากเวลาผ่านไปอุณหภูมิลดร้อนขาออกเฉลี่ยจะสูงขึ้นเรื่อยๆ จนสิ้นสุดการทดลองในชั่วโมงที่ 14 มีค่าเฉลี่ยคือ 64.0, 64.3 และ  $64.0^{\circ}\text{C}$  ตามลำดับ

เมื่อใช้ความเร็วลมที่ต่างกันพบว่าลักษณะการเพิ่มขึ้นของอุณหภูมิลดร้อนขาออกแต่ละชั่วโมงจะแตกต่างกัน โดยเมื่อใช้ความเร็วลมที่ 1 การเพิ่มขึ้นของอุณหภูมิจะช้ากว่าเมื่อใช้ความเร็วลมที่ 2 สังเกตได้จากความเร็วลมที่ 1 ใช้เวลา 17 ชั่วโมงในการเพิ่มขึ้นของอุณหภูมิลดร้อนขาออกมีค่าประมาณ  $60^{\circ}\text{C}$  แต่ความเร็วลมที่ 2 ใช้เวลาเพียง 6 ชั่วโมง เนื่องจากความเร็วลมที่ใช้ทำให้ปริมาณลมร้อนที่เข้าไปในตู้อบแตกต่างกัน



รูปที่ 4.5 การเปลี่ยนแปลงของอุณหภูมิลมร้อนขาออกเมื่อใช้ความเร็วลมที่ 1



รูปที่ 4.6 การเปลี่ยนแปลงของอุณหภูมิลมร้อนขาออกเมื่อใช้ความเร็วลมที่ 2

### 4.3.2 อุณหภูมิแต่ละสถานะในตู้อบ

การทดลอง NAV1 ในชั่วโมงที่ 1 อุณหภูมิแต่ละสถานะมีค่าใกล้เคียงกันโดย อุณหภูมิเฉลี่ยของสถานะที่ 1 – 8 คือ 44.3, 43.3, 45.7, 44.5, 45.0, 44.7, 44.7 และ 43.2 °C ตามลำดับ อุณหภูมิแต่ละสถานะจะมีค่าต่างๆ ในช่วงแรกและค่อยๆ เพิ่มสูงขึ้น และเมื่อเวลาผ่านไปอุณหภูมิก็จะมีแนวโน้มเพิ่มขึ้น เช่นเดียวกับอุณหภูมิลมร้อนจากออก และทั้ง 8 สถานะมีการเพิ่มขึ้นของอุณหภูมิใกล้เคียงกัน จนสิ้นสุดการทดลองในชั่วโมงที่ 17 อุณหภูมิเฉลี่ยของสถานะที่ 1 – 8 คือ 59.0, 59.8, 62.0, 60.0, 59.0, 59.3, 60.7 และ 60.0 °C ตามลำดับ (รูปที่ 4.7)

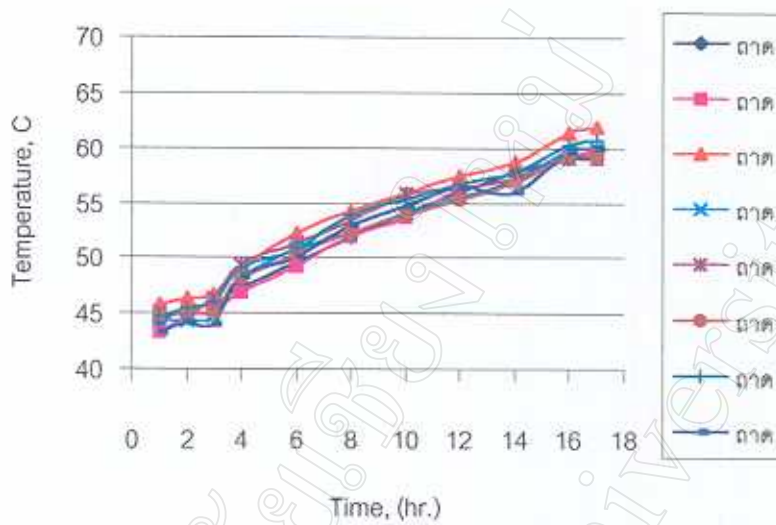
การทดลอง A3V1 ในชั่วโมงที่ 1 อุณหภูมิเฉลี่ยของสถานะที่ 1 – 8 คือ 46.3, 44.8, 48.0, 46.5, 47.0, 46.7, 45.8 และ 44.0 °C ตามลำดับ ในชั่วโมงที่ 2 และ 3 มีการเพิ่มขึ้นของอุณหภูมิในทุกสถานะ เมื่อถึงชั่วโมงที่ 4 อุณหภูมิของสถานะที่ 4 – 8 จะลดลงประมาณ 1 – 2 °C (เป็นช่วงที่มีการสลับพิศทางลมให้ไหลออกด้านล่างในชั่วโมงที่ 3) เนื่องจากลมร้อนของสถานะด้านบนซึ่งขึ้นและยืนกราบไปผสานกับลมร้อนของสถานะด้านล่าง ในชั่วโมงที่ 4 ความชื้นสัมพัทธิ์ที่วัดได้ในตำแหน่งชั้นที่ 8 ก็สูงขึ้นด้วย อย่างไรก็ตามเมื่อมีการสลับลมชั่วโมงที่ 6 และชั่วโมงที่ 9 แต่ละสถานะจะมีอุณหภูมิสูงขึ้นโดยไม่มีการลดลงของอุณหภูมิ โดยสิ้นสุดการทดลองในชั่วโมงที่ 17 อุณหภูมิเฉลี่ยของสถานะที่ 1 – 8 คือ 59.0, 59.0, 59.7, 58.5, 57.7, 59.3, 60.0 และ 59.0 °C ตามลำดับ(รูปที่ 4.8)

การทดลอง A6V1 ในชั่วโมงที่ 1 อุณหภูมิเฉลี่ยของสถานะที่ 1 – 8 คือ 46.7, 45.3, 48.3, 46.8, 47.5, 47.2, 47.3 และ 44.7 °C ตามลำดับ เมื่อเวลาผ่านไปอุณหภูมิแต่ละสถานะจะเพิ่มขึ้นโดยมีค่าใกล้เคียงกัน การสลับลมทุกๆ 6 ชั่วโมงไม่มีผลต่อการลดอุณหภูมิของสถานะด้านล่าง(สถานะที่ 4 – 8) ดังที่เกิดการทดลองที่สลับลมทุกๆ 3 ชั่วโมง เนื่องจากเมื่อเวลาผ่านไป 6 ชั่วโมงจำไยได้รับความร้อนมากพอและมีการกระจายความร้อนทั่วทั้งตู้ จำไยมีการระเหยน้ำไปมากในช่วงดังกล่าวจึงทำให้ปริมาณความชื้นลดลงมาก อุณหภูมิจึงเพิ่มสูงขึ้นเรื่อยๆ เมื่อสิ้นสุดการทดลองในชั่วโมงที่ 17 อุณหภูมิเฉลี่ยของสถานะที่ 1 – 8 คือ 59.0, 59.3, 60.7, 58.7, 58.7, 59.3, 60.7 และ 60.0 °C ตามลำดับ (รูปที่ 4.9)

การทดลอง NAV2 ในชั่วโมงที่ 1 อุณหภูมิเฉลี่ยของถ้าดที่ 1 – 8 คือ 49.3, 47.3, 52.2, 52.5, 54.8, 51.7, 50.3 และ  $48.3^{\circ}\text{C}$  ตามลำดับ เมื่อเวลาผ่านไปอุณหภูมิทุกถ้าดจะเพิ่มขึ้นเรื่อยๆ และสิ้นสุดการทดลองในชั่วโมงที่ 14 อุณหภูมิเฉลี่ยของถ้าดที่ 1 – 8 คือ 64.7, 66.0, 68.7, 66.7, 66.7, 65.0, 66.3, 67.0 และ  $67.0^{\circ}\text{C}$  ตามลำดับ (รูปที่ 4.10)

การทดลอง A3V2 ในชั่วโมงที่ 1 อุณหภูมิเฉลี่ยของถ้าดที่ 1 – 8 คือ 47.7, 46.8, 50.5, 50.7, 52.7, 49.3, 48.3 และ  $46.3^{\circ}\text{C}$  ตามลำดับ ในชั่วโมงที่ 2 และ 3 มีการเพิ่มขึ้นของอุณหภูมิในทุกถ้าด เมื่อมีการสัลบลมในชั่วโมงที่ 3 จะเกิดการลดลงอุณหภูมิของถ้าดด้านล่าง เช่นเดียวกับเมื่อใช้ความเร็วลมที่ 1 นั่นคือชั่วโมงที่ 4 อุณหภูมิของถ้าดที่ 4 – 8 จะลดลงประมาณ  $1 - 2^{\circ}\text{C}$  และความชื้นสัมพัทธ์ที่วัดได้ในตำแหน่งชั้นที่ 8 ก็สูงขึ้นด้วย จากผลดังกล่าวแสดงว่าแม้ว่าจะใช้ความเร็วลมจะสูงขึ้น 2 เท่าแต่ปริมาณความชื้นของลำไยในช่วง 3 ชั่วโมงแรกของการอบก็ยังมากพอที่จะทำให้อุณหภูมิของลมร้อนลดลง อย่างไรก็ตามเมื่อถึงชั่วโมงที่ 6 และ 9 แต่ละถ้าดจะมีอุณหภูมิสูงขึ้น และสิ้นสุดการทดลองในชั่วโมงที่ 14 อุณหภูมิเฉลี่ยของถ้าดที่ 1 – 8 คือ 63.7, 65.2, 66.0, 64.3, 64.2, 65.2, 65.7 และ  $65.0^{\circ}\text{C}$  ตามลำดับ (รูปที่ 4.11)

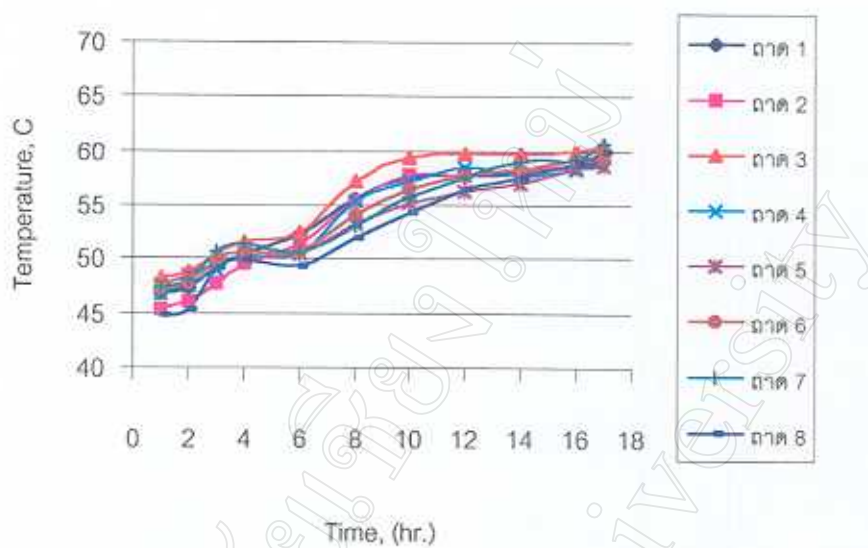
การทดลอง A6V2 ในชั่วโมงที่ 1 อุณหภูมิเฉลี่ยของถ้าดที่ 1 – 8 คือ 49.3, 48.7, 51.5, 54.0, 55.0, 51.7, 50.3 และ  $49.0^{\circ}\text{C}$  ตามลำดับ เมื่อเวลาผ่านไปอุณหภูมิทุกถ้าดจะเพิ่มขึ้น เมื่อเข้าชั่วโมงที่ 8 ทุกถ้าดมีอุณหภูมิใกล้เคียงกันจนสิ้นสุดการทดลองในชั่วโมงที่ 14 อุณหภูมิเฉลี่ยของถ้าดที่ 1 – 8 คือ 64.7, 66.2, 67.0, 66.0, 64.8, 66.0, 66.0 และ  $66.3^{\circ}\text{C}$  ตามลำดับ (รูปที่ 4.12)



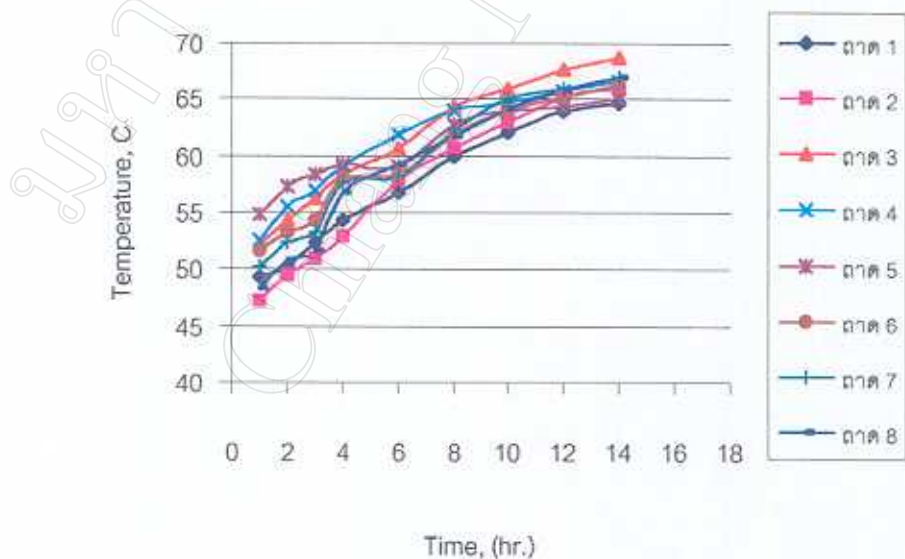
รูปที่ 4.7 อุณหภูมิแต่ละ\data ในตู้อบของกาวาทดอง NAV1



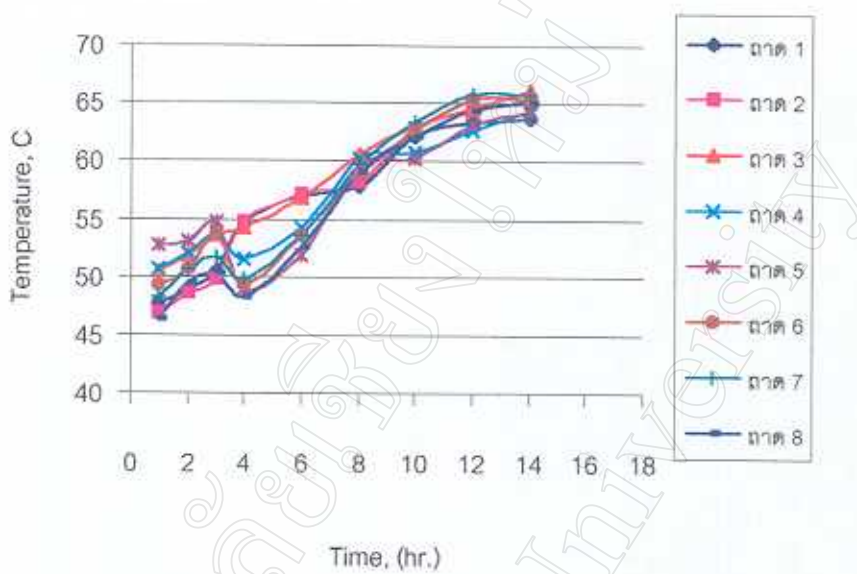
รูปที่ 4.8 อุณหภูมิแต่ละ\data ในตู้อบของกาวาทดอง A3V1



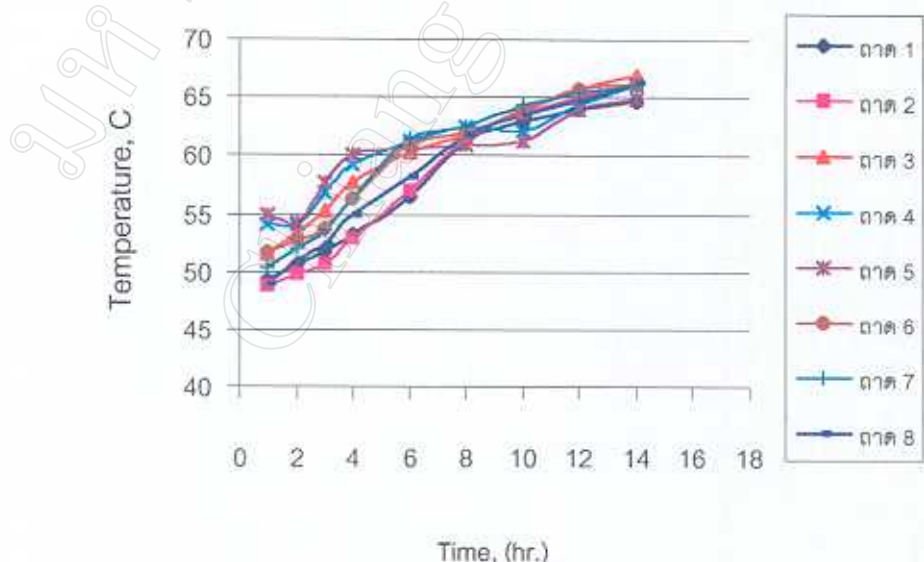
รูปที่ 4.9 อุณหภูมิแต่ละภาคในตู้อบของกาแฟคลอง A6V1



รูปที่ 4.10 อุณหภูมิแต่ละภาคในตู้อบของกาแฟคลอง NAV2



รูปที่ 4.11 อุณหภูมิแต่ละ\data ในตู้อบของกาวาคอลอง A3V2



รูปที่ 4.12 อุณหภูมิแต่ละ\data ในตู้อบของกาวาคอลอง A6V2

## 4.2 การลดความชื้นของลำไยอบแห้งแบบแกะเปลือก

### 4.4.1 ผลของการสับลมต่อการลดความชื้นของลำไยอบแห้งแบบแกะเปลือกเมื่อใช้ความเร็วลมที่ 1

ความชื้นเริ่มต้นของเนื้อลำไยก่อนอบการทดลอง NAV1, A3V1 และ A6V1 มีค่าเฉลี่ยคือ 82.50 , 82.31 และ 81.60, % (w.b.) ตามลำดับ ซึ่งความชื้นเริ่มต้นของลำไยในการทดลองที่ A6V1 มีความแตกต่างจากการทดลอง NAV1 และ A3V1 อย่างมีนัยสำคัญทางสถิติ ( $p<0.05$ ) (ตารางภาคผนวกที่ 9) การลดลงของความชื้นลำไยเป็นไปอย่างต่อเนื่องจนสิ้นสุดการทดลองในชั่วโมงที่ 17 ลำไยมีความชื้นเฉลี่ย 12.96, 13.56 และ 10.72 % (w.b.) ตามลำดับ ซึ่งแตกต่างกันอย่างมีนัยสำคัญทางสถิติ ( $p<0.05$ ) ในลักษณะเดิมคือ NAV1 และ A3V1 ไม่แตกต่างกัน ส่วน A6V1 ความชื้นที่ได้มีค่าน้อยกว่าอีก 2 การทดลอง แสดงว่าการลดลงของความชื้นในการทดลอง A6V1 จะเกิดขึ้นได้มากกว่า

ลักษณะของ drying curve สำหรับการทดลอง NAV1 การลดลงของความชื้นข้ากว่าการทดลองอื่นตั้งแต่ในชั่วโมงที่ 2 (รูปที่ 4.13) อาจเนื่องจากสภาพแวดล้อมภายนอก เช่น ความชื้นสัมพัทธิ์เริ่มต้นของอากาศขาเข้าที่สูงกว่าการทดลองอื่น การระเหยของน้ำเป็นไปได้ช้า การลดความชื้นอาจแตกต่างกันในช่วงแรก แต่เมื่อเข้าชั่วโมงที่ 10 – 17 ความชื้นของลำไยมีค่าใกล้เคียงกันมาก วิธีการสับลมของเครื่องอบแห้งไม่มีผลต่อระยะเวลาในการอบแห้งเมื่อใช้ความเร็วลมเดียวกัน อาจมีสาเหตุจากลมร้อนที่เข้าไปภายในตู้ต่างหากจากผนังห้องด้านข้างและขวางตู้เช่นเดียวกัน ลำไยสามารถที่จะได้รับความร้อนพร้อมๆ กัน จึงให้ผลที่ไม่แตกต่างกันระหว่างการสับลมร้อนให้ให้หลอกจากตู้ห้องด้านบนและทางด้านล่าง

สำหรับสมการ Regression และค่าสัมประสิทธิ์ของสมการพัฒน์ระหว่างเวลาในการลดความชื้นและความชื้น ( $M_t$ ) ของแต่ละการทดลองมีดังนี้

$$\text{NAV1} \quad y = 546.82e^{-0.2159x} \quad R^2 = 0.9944$$

$$\text{A3V1} \quad y = 487.53e^{-0.2170x} \quad R^2 = 0.9855$$

$$\text{A6V1} \quad y = 474.43e^{-0.2240x} \quad R^2 = 0.9933$$

โดยค่า  $y$  คือ ค่าความชื้นมาตรฐานแห้ง, เปอร์เซ็นต์

$x$  คือ เวลาที่ใช้ในการอบแห้ง, ชั่วโมง

$e$  คือ ค่า exponential มีค่าเท่ากับ 2.7183

$R^2$  คือ ค่าสัมประสิทธิ์ของสมการพัฒน์

ในการทดลอง NAV1, A3V1 และ A6V1 มีค่า  $R^2$  ที่สูงคือ 0.9944, 0.9855 และ 0.9933 ตามลำดับ แสดงว่าความสัมพันธ์ระหว่างเวลาในการลดความชื้นและความชื้น ( $M_d$ ) มีความสัมพันธ์กันแบบ exponential อย่างแท้จริงซึ่งเป็นไปตามทฤษฎีการลดความชื้น (Hall, 1980) อย่างไรก็ตามการนำสมการนี้ไปใช้ในการทำนายการลดความชื้นจะถูกต้องเพียงได้ขึ้นกับความชื้นเริ่มต้นของลำไย และความชื้นสัมพันธ์เริ่มต้นของอากาศที่ใช้ในการลดความชื้น ขณะนั้นด้วย ว่าคล้ายคลึงกับสภาพที่ใช้ในการทดลองมากน้อยเพียงใด

#### 4.4.2 ผลของการสลับลมต่อการลดความชื้นของลำไยอบแห้งแบบแกะเปลือกเมื่อใช้ความเร็วลมที่ 2

ความชื้นเริ่มต้นของเนื้อลำไยก่อนอบในการทดลอง NAV2, A3V2 และ A6V2 มีค่าเฉลี่ยคือ 82.52, 82.55 และ 82.84 % (w.b.) ตามลำดับ ซึ่งความชื้นเริ่มต้นของลำไยไม่มีความแตกต่างกันอย่างมีนัยสำคัญทางสถิติ ( $p \geq 0.05$ ) (ตารางภาคผนวกที่ 10) โดยทั้ง 3 การทดลองมีการลดลงของความชื้นลำไยเป็นไปอย่างต่อเนื่อง และสิ้นสุดการทดลองในชั่วโมงที่ 14 ลำไยที่ได้มีความชื้นเฉลี่ย 11.52, 11.92 และ 12.04 % (w.b.) ตามลำดับ ซึ่งไม่มีความแตกต่างกันอย่างมีนัยสำคัญทางสถิติ ( $p \geq 0.05$ ) ลักษณะของ drying curve ทั้ง 3 การทดลองมีค่าใกล้เคียงกันมาก (รูปที่ 4.14) แสดงให้เห็นว่าการสลับลมทุกๆ 3 และ 6 ชั่วโมงไม่มีผลต่อการลดความชื้นเช่นเดียวกัน อย่างไรก็ตามการใช้ความเร็วลมเพิ่มขึ้นทำให้ระยะเวลาที่ใช้ในการลดความชื้นลดลงประมาณ 3 ชั่วโมง

สำหรับ Regression และค่าสัมประสิทธิ์ของสนสัมพันธ์ระหว่างเวลาในการลดความชื้นและความชื้น ( $M_d$ ) ของแต่ละการทดลองมีลักษณะเป็น exponential ดังสมการต่อไปนี้

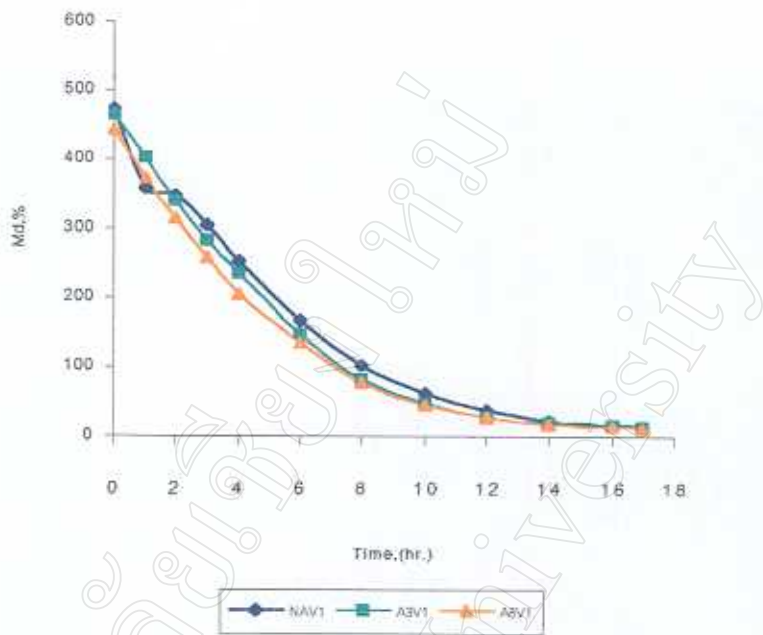
NAV2	$y = 522.60e^{-0.2737x}$	$R^2 = 0.9915$
A3V2	$y = 559.87e^{-0.2790x}$	$R^2 = 0.9906$
A6V2	$y = 521.31e^{-0.2809x}$	$R^2 = 0.9856$

โดยค่า  $y$  คือ ค่าความชื้นมาตรฐานแห้ง, เปอร์เซ็นต์

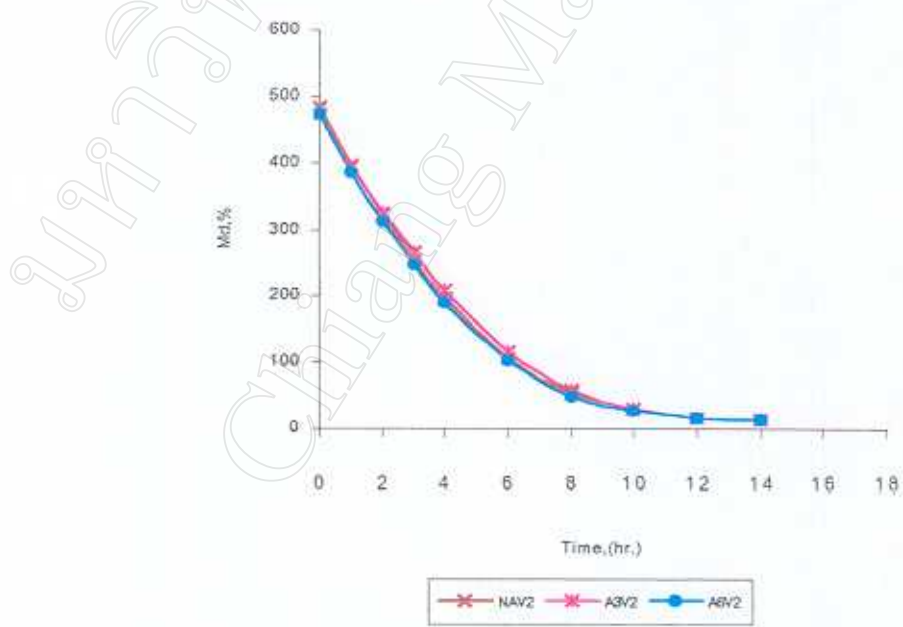
$x$  คือ เวลาที่ใช้ในการอบแห้ง, ชั่วโมง

$e$  คือ ค่า exponential มีค่าเท่ากับ 2.7183

$R^2$  คือ ค่าสัมประสิทธิ์ของสนสัมพันธ์



รูปที่ 4.13 Drying curve ของลำไยอบแห้งแบบแกงเปลือกเมื่อใช้ความเร็วลมที่ 1



รูปที่ 4.14 Drying curve ของลำไยอบแห้งแบบแกงเปลือกเมื่อใช้ความเร็วลมที่ 2

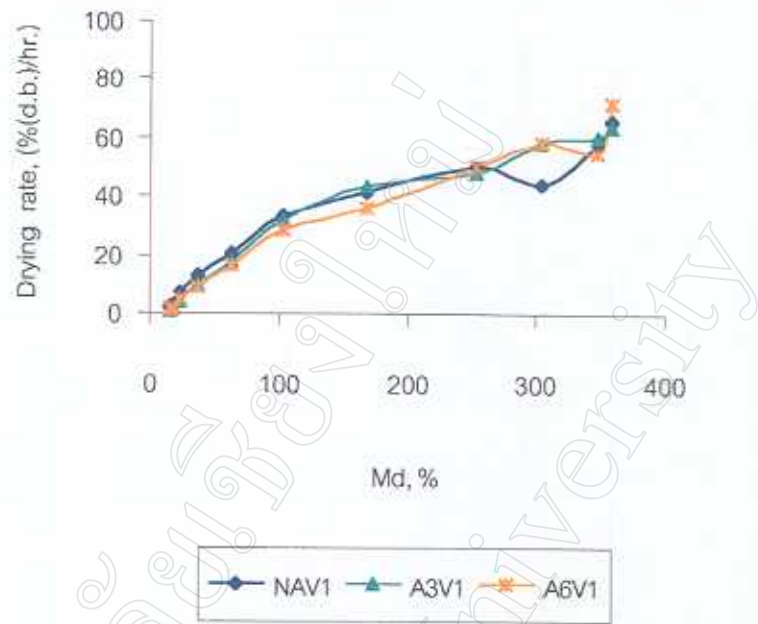
#### 4.5 อัตราการลดความชื้นของลำไยอบแห้งแบบแกะเปลือก

##### 4.5.1 ผลของการสลับลมต่ออัตราการลดความชื้นเมื่อใช้ความเร็วลมที่ 1

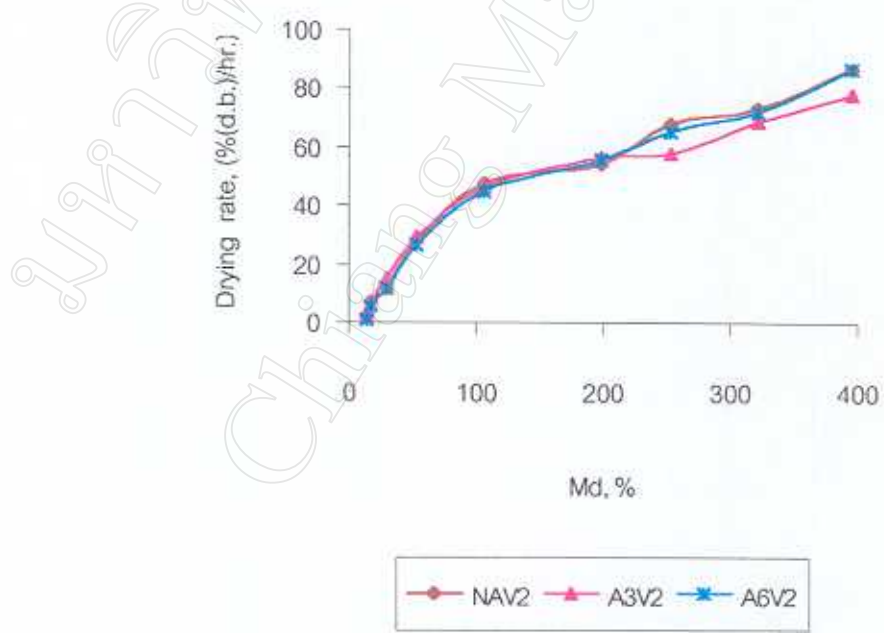
จากการวิเคราะห์ค่าอัตราการลดความชื้น (%(d.b.)/hr.) ของลำไย ในการทดลอง NAV1, A3V1 และ A6V1 พบร่วมกันความแตกต่างกันทางสถิติ ( $p<0.05$ ) (ตารางภาคผนวกที่ 11) ตลอดระยะเวลา 17 ชั่วโมงของการอบ ในช่วงแรกอัตราการลดความชื้นยังคงสูงอยู่เมื่อเวลาผ่านไปก็จะมีค่าลดลง รูปที่ 4.15 เป็นกราฟอัตราการลดความชื้น(%(d.b.)/hr.) และความชื้น (Md,%) ของลำไยในการทดลอง NAV1, A3V1 และ A6V1 พบร่วงๆ กัน คือความชื้นลำไยในชั่วโมงเดิมต้นมีค่าที่สูงและอัตราการลดความชื้นจะสูงในช่วงแรกของการอบ และอัตราการลดความชื้นจะลดลงเรื่อยๆ ตามปริมาณความชื้นลำไยที่เหลืออยู่และระยะเวลาในการอบ เนื่องจากความชื้นในลำไยเหลือน้อยจนไม่สามารถแพร่กระจายจากภายในออกมาน้ำผิดได้เร็วเท่ากับความสามารถในการระเหยจากผิวสูญออก จึงทำให้อัตราการลดความชื้นต่ำกว่าในชั่วโมงหลังๆ ต่ำกว่าช่วงแรกของการอบ อัตราการลดความชื้นของลำไยสอดคล้องกับอุณหภูมิภายในตู้อบและอุณหภูมิขากอกที่ช่วงแรก จะมีค่าต่ำและเพิ่มสูงขึ้นในชั่วโมงหลังๆ จากการทดลองนี้ไม่พบอัตราการลดความชื้นแบบ constant rate period ในช่วงต้นๆ ทั้งนี้อาจเป็นเพราะการสูบดูดอย่างทุก 1 ชั่วโมงอาจชำรุดไป โดยทั่วไปแล้ว constant rate period of drying จะเกิดขึ้นในช่วงเวลาสั้นๆ

##### 4.5.2 ผลของการสลับลมต่ออัตราการลดความชื้นเมื่อใช้ความเร็วลมที่ 2

จากการวิเคราะห์ค่าอัตราการลดความชื้น (%(d.b.)/hr.) ของลำไย ในการทดลอง NAV2, A3V2 และ A6V2 พบร่วมกันความแตกต่างกันทางสถิติ ( $p<0.05$ ) ในช่วง 3 ชั่วโมงแรกของการอบ แต่เมื่อเข้าชั่วโมงที่ 4 อัตราการลดความชื้นไม่แตกต่างกันทางสถิติ ( $p\geq0.05$ ) (ตารางภาคผนวกที่ 12) ในช่วงแรกอัตราการลดความชื้นยังคงสูงอยู่เมื่อเวลาผ่านไปก็จะมีค่าลดลงซึ่งเป็นไปตามทฤษฎีการลดความชื้น จากรูปที่ 4.16 เป็นกราฟอัตราการลดความชื้น (%(d.b.)/hr.) และความชื้น(Md,%) ของลำไยในการทดลอง NAV2, A3V2 และ A6V2 พบร่วงๆ 3 การทดลองมีแนวโน้มของอัตราการลดความชื้นที่สูงเมื่อความชื้นของลำไยมีค่าสูงด้วยในช่วงแรก แต่เมื่อความชื้นลำไยลดลงอัตราการลดความชื้นก็จะลดลงตามไปด้วย ทั้ง 3 การทดลองใช้ระยะเวลาในการอบที่เท่ากันและความชื้นเฉลี่ยของลำไยที่ได้ค่าไม่แตกต่างกันทางสถิติ ( $p\geq0.05$ ) ทั้งนี้ เพราะตั้งแต่ชั่วโมงที่ 4 อัตราการลดความชื้นไม่แตกต่างกันทางสถิติ ( $p\geq0.05$ ) จึงทำให้มีการลดความชื้นที่ใกล้เคียงกันมากจนสิ้นสุดการทดลอง



รูปที่ 4.15 Drying rate ของลำไยอบแห้งแบบแกงเปลือกเมื่อใช้ความเร็วลมที่ 1



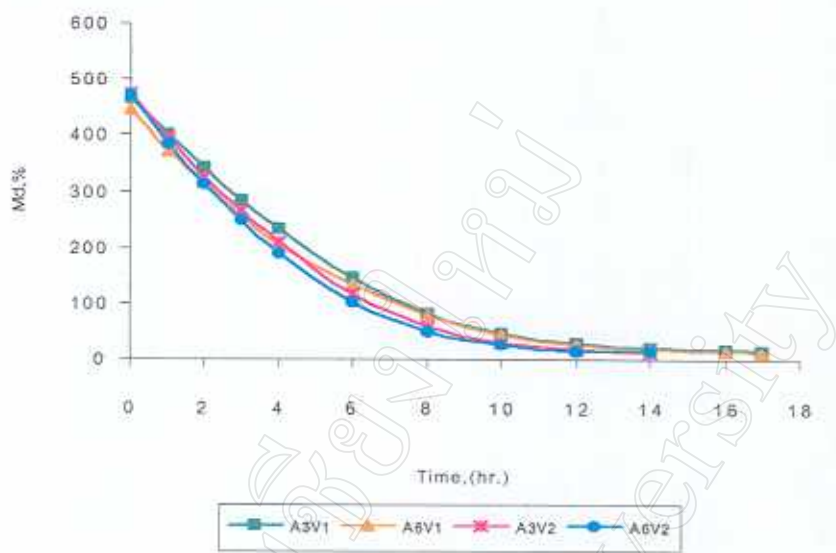
รูปที่ 4.16 Drying rate ของลำไยอบแห้งแบบแกงเปลือกเมื่อใช้ความเร็วลมที่ 2

#### 4.6 ผลของความเร็วลมและการสับพิศทางลมต่อการลดความชื้นและอัตราการลดความชื้นสำหรับแบบเปลือก

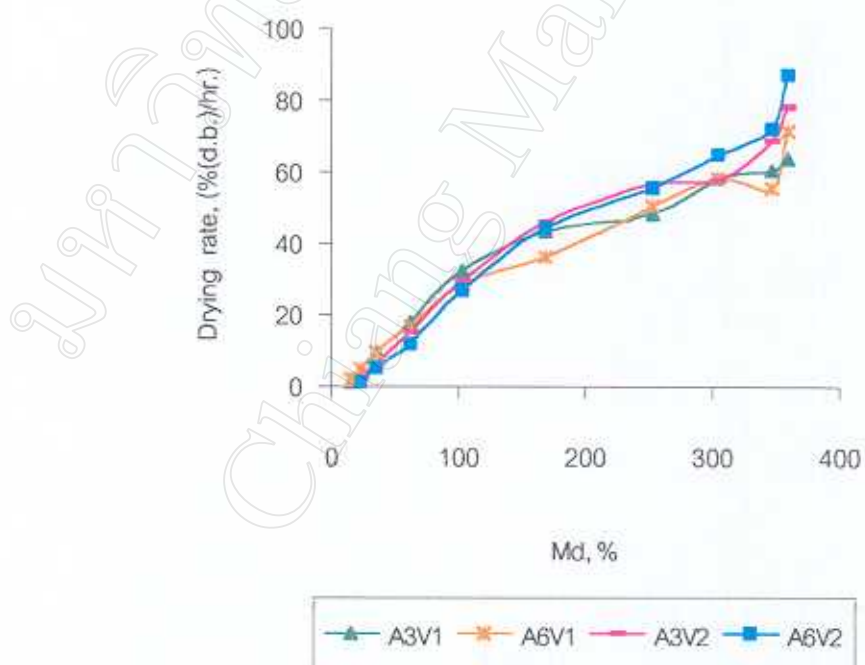
จากการทดลอง A3V1, A6V1, A3V2 และ A6V2 ที่กล่าวในหัวข้อ 4.4.1 และ 4.4.2 เมื่อทำการวิเคราะห์ทางสถิติแล้วพบว่า ความเร็วลมที่ใช้มีผลกระทบต่อการลดความชื้นซึ่งทำให้เวลาในการอบต่างกันถึง 3 ชั่วโมง ส่วนการสับลมทุกๆ 3 และ 6 ชั่วโมงมีผลต่อการลดความชื้นไม่แตกต่างกัน เมื่อลดความชื้นถึงชั่วโมงที่ 14 สำหรับการทดลอง A3V2 และ A6V2 มีความชื้นของสำหรับแบบเปลือกคือ 11.92 และ 12.04 % (w.b.) ตามลำดับ ซึ่งเป็นความชื้นที่เหมาะสมสำหรับเนื้อสำหรับแบบแห้งจึงสิ้นสุดการทดลอง แต่ในการทดลอง A3V1 และ A6V1 ยังคงมีการลดลงของความชื้นต่อไปจนถึงชั่วโมงที่ 17 จึงสิ้นสุดการทดลอง โดยมีความชื้นสำหรับแบบเปลือกคือ 13.56 และ 10.72 % (w.b.) ตามลำดับ

ลักษณะของ Drying curve ของการทดลองที่ใช้ความเร็วลมที่ 2 จะมีการลดลงของความชื้นเร็วกว่าการทดลองที่ใช้ความเร็วลมที่ 1 (รูปที่ 4.17) เป็นผลเนื่องจากความเร็วลมที่ใช้มีค่ามากกว่ากันถึง 2 เท่า (ตารางที่ 4.1 และ 4.2) ทำให้สำหรับมีการลดความชื้นได้เร็วขึ้นและปริมาณลมร้อนที่เข้าสู่ห้องอบมีมากกว่าทำให้การกระจายของความร้อนเกิดขึ้นได้เร็วกว่า และการกระจายลมในห้องอบสม่ำเสมอกว่า การระเหยน้ำก็เกิดขึ้นได้เร็วตามไปด้วย วิธีการสับลมของเครื่องอบแห้งไม่มีผลต่อการลดความชื้น อาจเนื่องจากลมร้อนที่เข้าไปในตู้ต่างหากจากผนังทั้งสองด้านซ้ายและขวาและมีการกระจายลมที่ดี ทำให้สำหรับมีโอกาสที่จะได้รับความร้อนพร้อมๆ กัน จึงให้ผลไม่แตกต่างกันระหว่างการให้ลมร้อนขาออกที่ให้หลอกจากตู้ทางด้านบนหรือด้านล่าง

จากราฟอัตราการลดความชื้น (%(d. b.)/hr.) และความชื้น (Md,%) (รูปที่ 4.18) เมื่อความชื้นของสำหรับมีค่าใกล้เคียงกัน การทดลอง A3V2 และ A6V2 จะมีค่าอัตราการลดความชื้นที่สูงกว่าการทดลอง A3V1 และ A6V1 จึงทำให้ใช้ระยะเวลาการอบที่แตกต่างกัน อาจเนื่องจากความเร็วลมที่กระจายในห้องอบของความเร็วลมที่ 2 ต่ำกว่าความเร็วลมที่ 1 จึงทำให้อัตราการลดความชื้นเกิดขึ้นมากกว่า ศุภศักดิ์และคณะ (2543) ซึ่งได้ทำการวิจัยการลดความชื้นสำหรับแบบเปลือกโดยใช้ลมที่มีความชื้นต่ำ แต่ในการทดลองนี้เมื่อมีการปรับความเร็วลมเพิ่มขึ้น ทำให้การกระจายลมดีขึ้นและมีอัตราการอบแห้งที่สูงกว่า สำหรับมีการแห้งที่สม่ำเสมอขึ้นมาก



รูปที่ 4.17 Drying curve ของจำไยอบแห้งแบบแกะเปลือกเมื่อเปรียบเทียบ  
ความเร็วลมที่ 1 และ 2



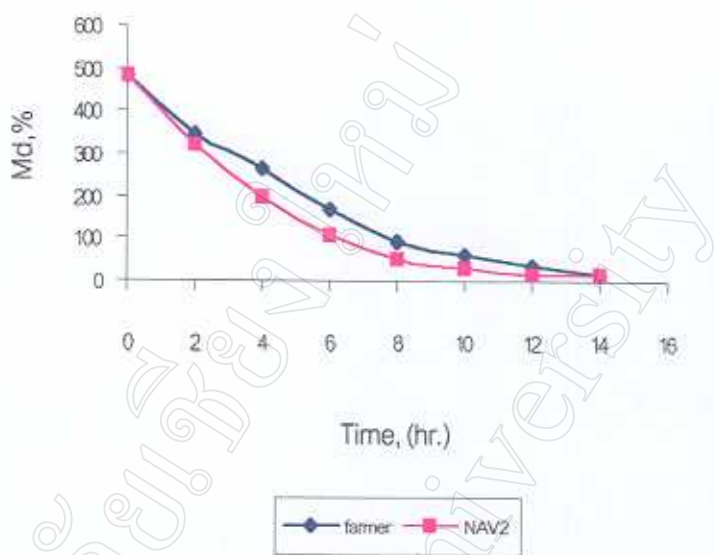
รูปที่ 4.18 Drying rate ของจำไยอบแห้งแบบแกะเปลือกเมื่อเปรียบเทียบ  
ความเร็วลมที่ 1 และ 2

#### 4.7 เปรียบเทียบการลดความชื้นและอัตราการลดความชื้นของเครื่องอบแห้งเกษตรกรกับเครื่องอบแห้งแบบสลับพิศทางลมร้อน

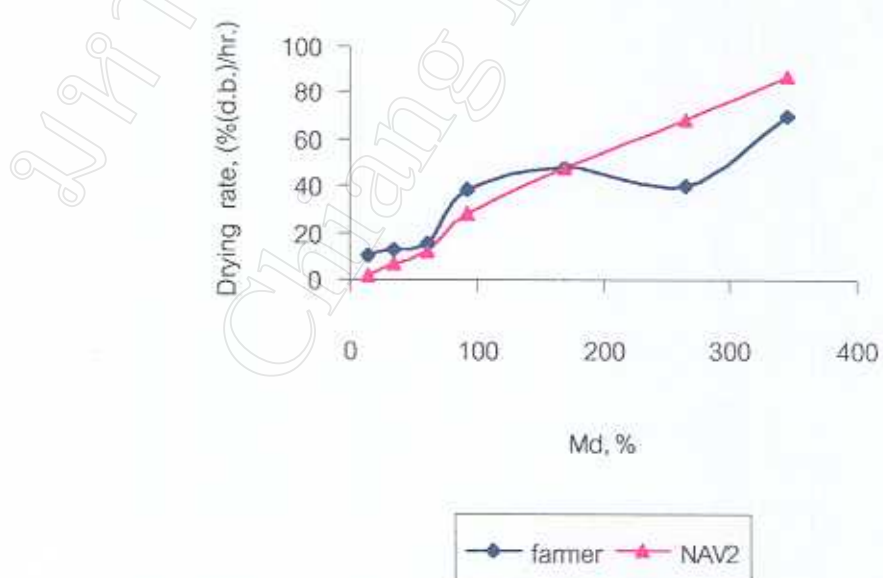
ความชื้นเริ่มต้นลำไยของเครื่องอบแห้งเกษตรกรและเครื่องอบแห้งแบบสลับพิศทางลมร้อน (เลือกการทดลอง NAV2 มาใช้ในการเปรียบเทียบ เนื่องจากเป็นวิธีที่เหมาะสมที่สุด) มีค่าเฉลี่ยคือ 82.87 และ 82.84 % (w.b.) ตามลำดับ โดยใช้เวลาในการอบที่เท่ากันคือ 14 ชั่วโมง มีความชื้นสุดท้ายเฉลี่ยคือ 11.85 และ 12.04 % (w.b.) ตามลำดับแสดงดังตารางที่ 4.3 ลักษณะการลดลงของความชื้นใน 2 ชั่วโมงแรกมีค่าใกล้เคียงกัน แต่หลังจากนั้นการทดลอง NAV2 มีการลดลงของความชื้นเร็วกว่า หลังจากชั่วโมงที่ 12 จึงมีค่าที่ใกล้เคียงกันจนสิ้นสุดการทดลองที่ 14 ชั่วโมงแสดงดังรูปที่ 4.19 การลดความชื้นของ NAV2 เร็วกว่าอาจเนื่องจากใช้อุณหภูมิ 70 °C คงที่ตลอดการอบ ส่วนเครื่องของเกษตรกรเป็นการอบแบบลดอุณหภูมิคือ ใช้อุณหภูมิ 70 °C ใน 6 ชั่วโมงแรก จากนั้นใช้ลดอุณหภูมิลงเป็น 60 °C นอกจากนี้ในการอบโดยเครื่องเกษตรกรยังมีขั้นตอนมีการสลับ\data ในชั่วโมงที่ 1 และหลังจากนั้นทุกๆ 2 ชั่วโมงจนสิ้นสุด การอบ เพื่อให้ทุก\data ได้รับความร้อนและแห้งสม่ำเสมอ กัน ต่างจากเครื่องอบแห้งแบบสลับพิศทางลมร้อนที่มีพิศทางการไอล์ของลมร้อนเข้าทั้ง 3 ด้านคือ ด้านหลัง ด้านซ้ายและด้านขวา มีการกระจายของลมทั่วถึงทำให้ไม่ต้องเสียเวลาในการสลับ\data

ตารางที่ 4.3 การลดความชื้นและอัตราการลดความชื้นของเครื่องอบแห้งเกษตรกรกับเครื่องอบแห้งแบบสลับพิศทางลม

Time (hr.)	ความชื้น				อัตราการลดความชื้น	
	$M_w$ , %		$M_d$ , %		% (d.b.)/hr.	
	farmer	NAV2	farmer	NAV2	farmer	NAV2
0	82.87	82.84	484.86	482.75	0	0
2	77.22	76.30	344.75	321.94	70.05	87.15
4	71.57	66.56	264.39	199.04	40.18	68.2
6	61.74	51.58	168.67	106.53	47.86	47.52
8	46.89	34.51	92.56	52.70	38.06	27.98
10	37.21	23.25	60.97	30.29	15.80	11.82
12	25.42	14.59	34.58	17.08	13.20	6.68
14	11.85	12.04	13.45	13.69	10.57	1.74
				เฉลี่ย	33.67	35.87



รูปที่ 4.19 Drying curve ของลำไยอบแห้งระหว่างเครื่องอบแห้งเกษตรกรกับเครื่องอบแห้งแบบสลับทิศทางลมร้อน



รูปที่ 4.20 Drying rate ของลำไยอบแห้งระหว่างเครื่องอบแห้งเกษตรกรกับเครื่องอบแห้งแบบสลับทิศทางลมร้อน

สำหรับสมการ Regression และค่าสัมประสิทธิ์ของสนับสนุนระหว่างเวลาในการลดความชื้นกับความชื้น ( $M_d$ ) ของเครื่องอบแห้งเกษตรกรและ NAV2 คือ

$$\text{NAV2} \quad y = 522.6e^{-0.2737x} \quad R^2 = 0.9915$$

$$\text{Farmer} \quad y = 615.3e^{-0.2476x} \quad R^2 = 0.9724$$

โดยค่า  $y$  คือ ค่าความชื้นมาตรฐานแห้ง, เปอร์เซ็นต์

$x$  คือ เวลาที่ใช้ในการอบแห้ง, ชั่วโมง

$e$  คือ ค่า exponential มีค่าเท่ากับ 2.7183

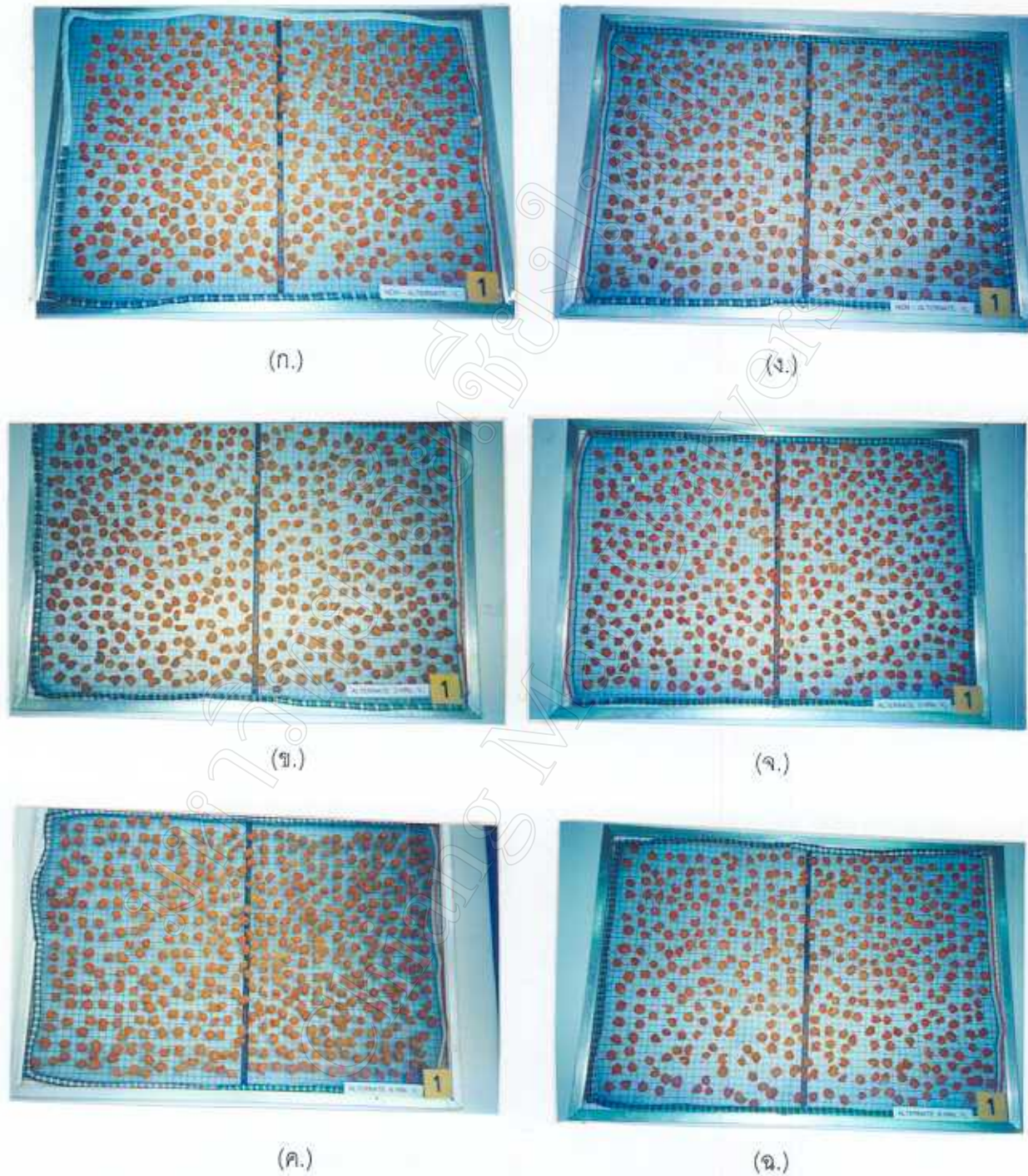
$R^2$  คือ ค่าสัมประสิทธิ์ของสนับสนุน

อัตราการลดความชื้นเฉลี่ยของการทดลอง NAV2 ในชั่วโมงที่ 2 – 4 มีค่าสูงกว่าเครื่องอบแห้งของเกษตรกร แสดงดังตารางที่ 4.3 แต่เมื่อเข้าชั่วโมงที่ 6 อัตราการลดความชื้นเฉลี่ยมีค่าใกล้เคียงกัน ในเครื่องอบแห้งของเกษตรกรจะมีอัตราการลดความชื้นที่มีลักษณะเป็นขั้นบันได โดยในชั่วโมงที่ 6 เป็นจุดที่อัตราการลดความชื้นเฉลี่ยของห้อง 2 เครื่องมีค่าใกล้เคียงกัน แสดงดังรูปที่ 4.20 แต่เมื่อเวลาผ่านไปในเครื่องของเกษตรกรยังคงมีอัตราการลดความชื้นที่สูงขึ้น อาจเนื่องจากความชื้นของลำไยยังคงมีค่าสูงอยู่ การระเหยของน้ำจึงเกิดขึ้นต่อไป ต่างจากการทดลอง NAV2 ที่ลำไยมีความชื้นลดลงมากแล้ว เมื่อถึงชั่วโมงที่ 10 จึงมีค่าใกล้เคียงกันอีก อัตราการลดความชื้นเฉลี่ยตลอดการอบของเครื่องเกษตรกร และ NAV2 มีค่าแตกต่างกันเล็กน้อย คือมีค่าเท่ากับ 33.67 และ 35.87 %d.b./hr. ตามลำดับ

#### 4.8 คุณภาพของลำไยอบแห้งแบบแกะเปลือก

จากรูปที่ 4.21 แสดงลำไยหลังอบโดยใช้เครื่องอบแห้งแบบสลับลม ในการทดลอง NAV1, A3V1 และ A6V1 พบรำลักษณะของลักษณะเป็นยางเนียนบริเวณกลางถุง เนื่องจากความเร็วลมที่ใช้มีค่าต่ำไม่สามารถไนล่อนผ่านมาอย่างตรงกลางถุงได้ จึงเกิดจุดที่อับลมทำให้ลำไยแห้งซักกว่าส่วนอื่น และสำหรับในการทดลอง NAV2, A3V2 และ A6V2 พบรำลักษณะของลักษณะการแห้งที่สม่ำเสมอ กัน

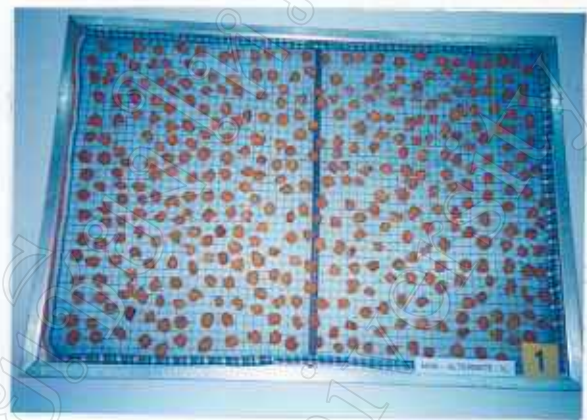
จากรูปที่ 4.22 เปรียบเทียบลำไยอบแห้งหลังอบโดยใช้เครื่องอบแห้งของเกษตรกรและเครื่องแบบสลับพิเศษทางลมร้อน ลำไยหลังอบของเกษตรกรภายในถุงมีการแห้งที่สม่ำเสมอ กันมากกว่า และสีของลำไยที่ได้มีสีเหลืองทองสวยงามกว่า เมื่อเปรียบเทียบกับลำไยที่อบโดยใช้เครื่องอบแห้งแบบสลับลม โดยเกษตรกรผู้อบลำไยจัดให้ลำไยที่ได้จากการทดลองอยู่ในสีน้ำตาล – ทองซึ่งเป็นเกรดที่ต่ำรองมาจากสีเหลืองทอง ทั้งนี้อาจเกิดวิธีการอบของเกษตรกรซึ่งมีการปรับลดอุณหภูมิทำให้ลำไยมีสีที่ดีกว่า



รูปที่ 4.21 ลำไยหลังอบโดยใช้เครื่องอบแห้งแบบดับพิเศษทางลมร้อน

(ก.) NAV1 (ก.) A3V1 (ค.) A6V1

(ก.) NAV2 (ก.) A3V2 (ฉ.) A6V2



(ก.) ลำไยอบแห้งจากเครื่องอบแห้งแบบตั้งพื้นทิศทางลมร้อน



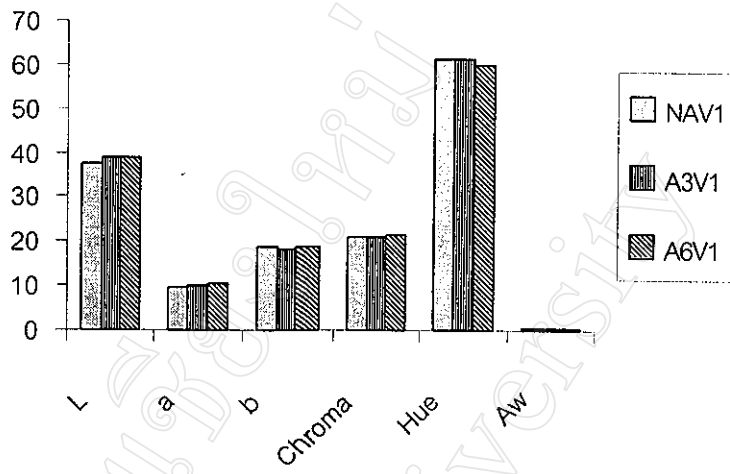
(ข.) ลำไยอบแห้งจากเครื่องอบแห้งแบบดาดฟ้าของเกษตรกร

รูปที่ 4.22 เปรียบเทียบลำไยอบแห้งหลังอบโดยใช้เครื่องอบแห้งแบบตั้งพื้นทิศทางลมร้อน เกษตรกรและเครื่องอบแห้งแบบตั้งพื้นทิศทางลมร้อน

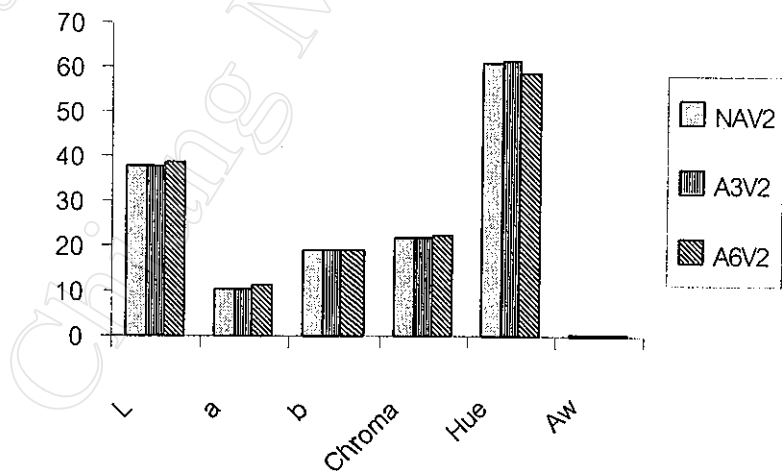
#### 4.8.1 การประเมินคุณภาพของลำไยอบแห้งในห้องปฏิบัติการ

การตรวจวัดสีของลำไยหลังอบใช้ระบบ Hunter จะทำการการวัด 3 ค่าคือ ค่า L, a, b และนำค่าเหล่านี้มาคำนวนค่า Chroma และ ค่า Hue ตารางภาคผนวกที่ 21 แสดงค่าเฉลี่ยการวัดค่าสีและค่า Aw ของลำไยหลังอบเมื่อใช้ความเร็วลมที่ 1 คือการทดลอง NAV1, A3V1 และ A6V1 พบว่าการสลับลมร้อนทุกๆ 0, 3 และ 6 ชั่วโมง ไม่พบความแตกต่างอย่างมีนัยสำคัญทางสถิติ ( $p \geq 0.05$ ) ของค่า L (ความสว่าง), ค่า b (ได้ค่าเป็น + ซึ่งให้ค่าสีเหลือง), ค่า Chroma (ความเข้มของสี) และค่า Hue (เฉดสี) แต่สำหรับค่า a (ได้ค่าเป็น + ซึ่งให้ค่าสีแดง) มีความแตกต่างกันอย่างมีนัยสำคัญทางสถิติ ( $p < 0.05$ ) จากค่า Hu<sub>0</sub> ทำให้ทราบว่าทั้ง 3 การทดลองมีเฉดสีที่ไม่แตกต่างกันโดยอยู่ในช่วง 60.14 – 61.44 (รูปที่ 4.23) สำหรับค่า Aw ที่วัดได้ของ NAV1, A3V1 และ A6V1 คือ 0.373, 0.360 และ 0.351 ตามลำดับ ซึ่งไม่มีความแตกต่างอย่างมีนัยสำคัญทางสถิติ ( $p \geq 0.05$ ) และจากค่า Aw ที่วัดได้อยู่ในช่วง 0.351 – 0.373 อยู่ในระดับที่ปลอดจากเชื้อจุลินทรีย์

จากตารางภาคผนวกที่ 22 แสดงค่าเฉลี่ยการวัดค่าสีและค่า Aw ของลำไยหลังอบเมื่อใช้ความเร็วลมที่ 2 คือการทดลอง NAV2, A3V2 และ A6V2 พบว่าการสลับลมร้อนทุกๆ 0, 3 และ 6 ชั่วโมง ไม่พบความแตกต่างอย่างมีนัยสำคัญทางสถิติ ( $p \geq 0.05$ ) ของค่า L (ความสว่าง), ค่า b (ได้ค่าเป็น + ซึ่งให้ค่าสีเหลือง), ค่า Chroma (ความเข้มของสี) และค่า Hue (เฉดสี) แต่สำหรับค่า a (ได้ค่าเป็น + ซึ่งให้ค่าสีแดง) และค่า Aw มีความแตกต่างกันอย่างมีนัยสำคัญทางสถิติ ( $p < 0.05$ ) ถึงแม้ว่าค่า a ที่วัดได้จะแตกต่างกันแต่ค่าเฉลี่ยยังอยู่ในระดับเดียวกัน (รูปที่ 4.24) สำหรับค่า Aw ที่วัดได้ของ NAV2, A3V2 และ A6V2 คือ 0.332, 0.320 และ 0.349 ตามลำดับ แม้ว่ามีแตกต่างกันแต่ค่า Aw โดยรวมนั้นมีค่าต่ำสุดไปได้ว่าทั้ง 3 การทดลองมีความปลอดภัยต่อเชื้อจุลินทรีย์ ซึ่งไฟโตร์น (2539) กล่าวว่าการที่ค่า Aw ต่ำนั้นสามารถที่ยับยั้งการเจริญของจุลินทรีย์ได้ ยกเว้นจุลินทรีย์บางชนิดที่ทนแล้งสามารถที่จะเจริญได้ เช่น เดียวภับไพบูลย์ (2532) ได้กล่าวจุลินทรีย์จะไม่สามารถเจริญได้ที่ค่า Aw ที่ต่ำกว่าในช่วงประมาณ 0.5 – 0.6



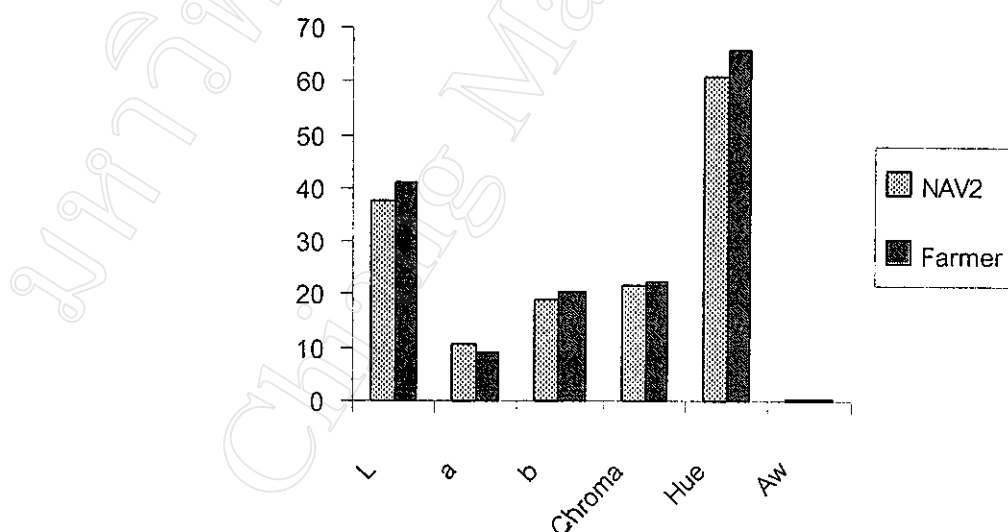
รูปที่ 4.23 ค่าเฉลี่ยการวัดค่าสีและค่า Aw ของลำไยหลังอบเมื่อใช้ความเร็วลมที่ 1



รูปที่ 4.24 ค่าเฉลี่ยการวัดค่าสีและค่า Aw ของลำไยหลังอบเมื่อใช้ความเร็วลมที่ 2

#### 4.8.2 การเปรียบเทียบคุณภาพลำไยอบแห้งที่ได้จากเครื่องอบแห้งแบบสถาบันเกษตรกร กับเครื่องอบแห้งแบบสลับทิศทางลมร้อน

เมื่อเปรียบเทียบค่า L, a, b, Chroma, Hue จากรูปที่ 4.25 พบร่วงลำไยอบแห้ง ของเกษตรกรมีค่าความสว่าง(L) ของสีมากกว่าลำไยจากเครื่องทดลอง และที่เห็นได้ชัดเจนจาก ค่าเฉลี่ย(Hue) มีค่าที่แตกต่างกันมาก ส่วนค่าความเข้มของสี (Chroma) มีค่าใกล้เคียงกัน จากรูปที่ 4.10 เมื่อเปรียบเทียบสีของลำไยแล้วสีของเกษตรกรจะสวายกว่าจัดอยู่ในสีเหลืองทอง ซึ่ง มีค่าเฉลี่ยเฉลี่ยคือ 65.76 ซึ่งลำไยที่ได้จากเครื่องทดลอง(NAV2) มีสีน้ำตาลทองมีค่าเฉลี่ยคือ 60.83 และความสว่างมีน้อยกว่าเมื่อมองดูจากภายนอกแล้วสีจะเข้มกว่า จากค่าสีที่วัดค่า ออกมาเป็นตัวเลขนี้จะเป็นสิ่งหนึ่งที่สามารถบ่งบอกถึงคุณภาพได้ และใช้ประกอบกับการประเมิน ทางด้านรสชาติสัมผัสได้ซึ่งแต่ละคนอาจมีความชอบที่แตกต่างกันได้ ค่า Aw ของการทดลอง NAV2 และ Farmer คือ 0.315 และ 0.375 ตามลำดับ โดยทั้ง 2 การทดลองจัดว่าอยู่ในระดับที่ ปลอดจากเชื้อจุลินทรีย์



รูปที่ 4.25 ค่าเฉลี่ยการวัดค่าสีและค่า Aw ของลำไยหลังอบจากเครื่องอบแห้งแบบสถาบันเกษตรกร กับเครื่องอบแห้งแบบสลับทิศทางลมร้อน

8.8.3 การประเมินคุณภาพทางด้านประสิทธิภาพด้วยวิธี Ideal ratio profile technique ตามวิธีของไฟโรจัน (2539)

การประเมินคุณภาพโดยใช้ Ideal ratio profile technique พบร่วมกันลักษณะต่างๆที่ใช้ในการพิจารณาคุณภาพของลำไยอบแห้งแบบแกะเปลือกคือ สีเนื้อของลำไย กลิ่น รสหวาน ความเข้ม ความเนียนยว และการยอมรับโดยรวม แสดงผลดังตารางที่ 4.4

คุณภาพด้านสีเนื้อของลำไยในการทดลอง NAV1, A3V1, A6V1, NAV2, A3V2, A6V2 และลำไยของเกษตรกร (Farmer) มีค่า Mean ideal ratio score คือ 1.06, 1.11, 1.02, 0.96, 1.67, 1.01 และ 0.69 ตามลำดับ ซึ่งมีความแตกต่างกันทางสถิติ ( $p < 0.05$ )

คุณภาพด้านสีกลิ่นของลำไยในการทดลอง NAV1, A3V1, A6V1, NAV2, A3V2, A6V2 และลำไยของเกษตรกร (Farmer) มีค่า Mean ideal ratio score คือ 0.83, 0.94, 0.92, 0.89, 0.98, 1.05 และ 0.69 ตามลำดับ ซึ่งมีความแตกต่างกันทางสถิติ ( $p < 0.05$ )

คุณภาพด้านรสหวานของลำไยในการทดลอง NAV1, A3V1, A6V1, NAV2, A3V2, A6V2 และลำไยของเกษตรกร (Farmer) มีค่า Mean ideal ratio score คือ 1.15, 1.10, 1.19, 1.89, 1.17, 1.02 และ 0.95 ตามลำดับ ซึ่งมีความแตกต่างกันทางสถิติ ( $p < 0.05$ )

คุณภาพด้านความเข้มของลำไยในการทดลอง NAV1, A3V1, A6V1, NAV2, A3V2, A6V2 และลำไยของเกษตรกร (Farmer) มีค่า Mean ideal ratio score คือ 0.92, 0.84, 0.91, 0.94, 0.96, 0.86 และ 0.92 ตามลำดับ ซึ่งไม่มีความแตกต่างกันทางสถิติ ( $p \geq 0.05$ )

คุณภาพด้านความเนียนยวของลำไยในการทดลอง NAV1, A3V1, A6V1, NAV2, A3V2, A6V2 และลำไยของเกษตรกร (Farmer) มีค่า Mean ideal ratio score คือ 1.19, 1.13, 1.31, 1.31, 1.25, 1.00 และ 0.84 ตามลำดับ ซึ่งมีความแตกต่างกันทางสถิติ ( $p < 0.05$ )

การยอมรับโดยรวมในการทดลอง NAV1, A3V1, A6V1, NAV2, A3V2, A6V2 และลำไยของเกษตรกร (Farmer) มีค่า Mean ideal ratio score คือ 0.66, 0.68, 0.72, 0.69, 0.66, 0.62 และ 0.73 ตามลำดับ ซึ่งไม่มีความแตกต่างกันทางสถิติ ( $p \geq 0.05$ )

ลำไยอบแห้งแบบแกะเปลือกทุกการทดลองมีค่าการยอมรับโดยรวมค่อนข้างน้อยเมื่อเทียบกับค่าในอุดมคติ (มีค่าเท่ากับ 1 ) นอกจากนี้คุณภาพทางประสิทธิภาพด้านสีเนื้อของลำไย และความเนียนยวมีค่าสูงกว่าค่าในอุดมคติอยู่มาก เนื่องจากของการวิเคราะห์เชิงปริมาณแบบ Ideal ratio ของลำไยอบแห้งแบบแกะเปลือก (รูปที่ 4.26) จะเห็นข้อเด่นชัดเจนซึ่งว่าแต่ละการทดลอง ควรมีการปรับปรุงคุณลักษณะในด้านใดบ้าง และเพื่อเป็นแนวทางในการพัฒนาต่อไป

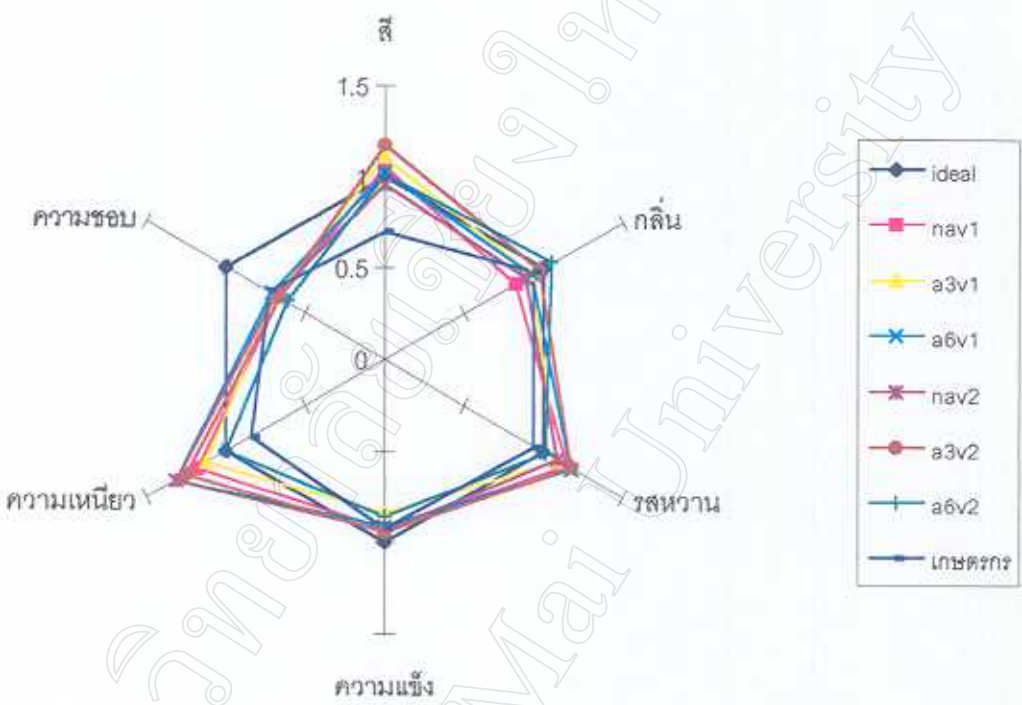
ค่าสีเนื้อลำไยจากเครื่องทดสอบมีค่า Mean ideal ratio score ที่สูงกว่าในอุดมคติ ยกเว้นการทดสอบ NAV2 และลำไยของเกษตรกร แสดงว่าลำไยจากเครื่องทดสอบควรที่จะมีการพัฒนาในเรื่องสีของเนื้อลำไย โดยอาจใช้วิธีการอบแบบลดอุณหภูมิ เมื่อพิจารณาจากภูมิที่ 4.22 ประกอบพบว่า ลำไยของเกษตรกรมีสีเหลืองทอง ส่วนลำไยจากเครื่องอบแห้งสลับพิศทางลมร้อน มีสีน้ำตาลอ่อนสอดคล้องกับวิธีประเมินแบบวิธี Ideal ratio profile ในกรณีข้อข่ายแล้วลำไย สีเหลืองทองจะมีราคาที่สูงกว่า นอกจากนี้คุณภาพด้านความเนียน滑ของลำไยก็เช่นกัน ค่า Mean ideal ratio score จากเครื่องทดสอบก็มีค่าที่สูงกว่าของเกษตรกร แสดงว่าต้องมีการปรับปรุงเพื่อลดความเนียน滑ของลำไยลง ถึงแม้ว่าการยอมรับโดยรวมของลำไยอบแห้งทั้งจากของเกษตรกร และจากเครื่องอบแห้งแบบสลับพิศทางลมร้อนจะมีค่า Mean ideal ratio score ไม่แตกต่างกัน ทางสถิติ แต่ก็ยังอยู่ในระดับที่ต่ำกว่าค่าในอุดมคติ โดยความเนียน滑และความแข็งของลำไยอาจ เป็นส่วนหนึ่งที่มีผลต่อค่าการยอมรับโดยรวม ปัจจุบันตลาดมีการแข่งขันสูงการพัฒนาในเรื่อง คุณภาพจึงเป็นสิ่งสำคัญ ความชื้นของลำไยอบแห้งที่ได้มีค่าประมาณ 11 – 13 % (w.b.) จัดอยู่ ในระดับที่ต่ำและมีลักษณะที่แห้ง จึงมีความเนียน滑และแข็งเกิดขึ้นได้ ดังนั้นควรมีการอบลำไยให้มีระดับความชื้นที่มากขึ้นแต่ก็ไม่เกิน 18 % (w.b.) อาจเป็นวิธีการหนึ่งที่ลำไยอบแห้งที่ได้ไม่แข็ง และเนียน滑กินไป

ตารางที่ 4.4 ค่า Mean ideal ratio score ของคุณลักษณะสำคัญและค่าการซ้อมรับโดยรวมของจำเลยตามแบบเก็บสืบ

ภาระทดสอบ	สีของเนื้อผลไม้	กลิ่นของผลไม้	รสหวานของผลไม้	ความแม่นยำของผลไม้	ความหนืดของผลไม้	การยอมรับโดยรวม
NAV1	1.06±0.25b	0.83±0.19ab	1.15±0.15b	0.92±0.24	1.19±0.46b	0.66±0.14
A3V1	1.11±0.16b	0.94±0.20b	1.10±0.20ab	0.84±0.23	1.13±0.31ab	0.68±0.14
A6V1	1.02±0.19b	0.92±0.20ab	1.19±0.16b	0.91±0.21	1.31±0.30b	0.72±0.11
NAV2	0.96±0.41b	0.89±0.32ab	1.09±0.19ab	0.94±0.32	1.31±0.43b	0.69±0.15
A3V2	1.67±0.25b	0.98±0.19b	1.17±0.16b	0.96±0.28	1.25±0.27b	0.66±0.19
A6V2	1.01±0.34b	1.05±0.25b	1.02±0.28ab	0.86±0.34	1.00±0.39ab	0.62±0.24
Farmer	0.70±0.39a	0.69±0.43a	0.95±0.32a	0.92±0.31	0.84±0.41a	0.73±0.14

หมายเหตุ : ค่าเฉลี่ย Mean ideal ratio score ±ค่าเบี่ยงเบนมาตรฐาน

- ค่า ideal ratio score สำหรับผลิตภัณฑ์ในอุดมคุณภาพ (ideal product) เท่ากับ 1.00
- ตัวอักษรที่ต่างกันในแต่ละคอลัมน์ แสดงว่ามีความแตกต่างกันอย่างมีนัยสำคัญทางสถิติที่  $p < 0.05$



รูปที่ 4.26 เส้นไดรรังของกราฟวิเคราะห์ที่เรียงเป็นลำดับแบบ Ideal ratio ของจำไยอนแห่งแบบแบนแบบเปลี่ยน

#### 4.9 การหา Water Sorption Isotherm ของลำไยอบแห้งแบบแกะเปลือก

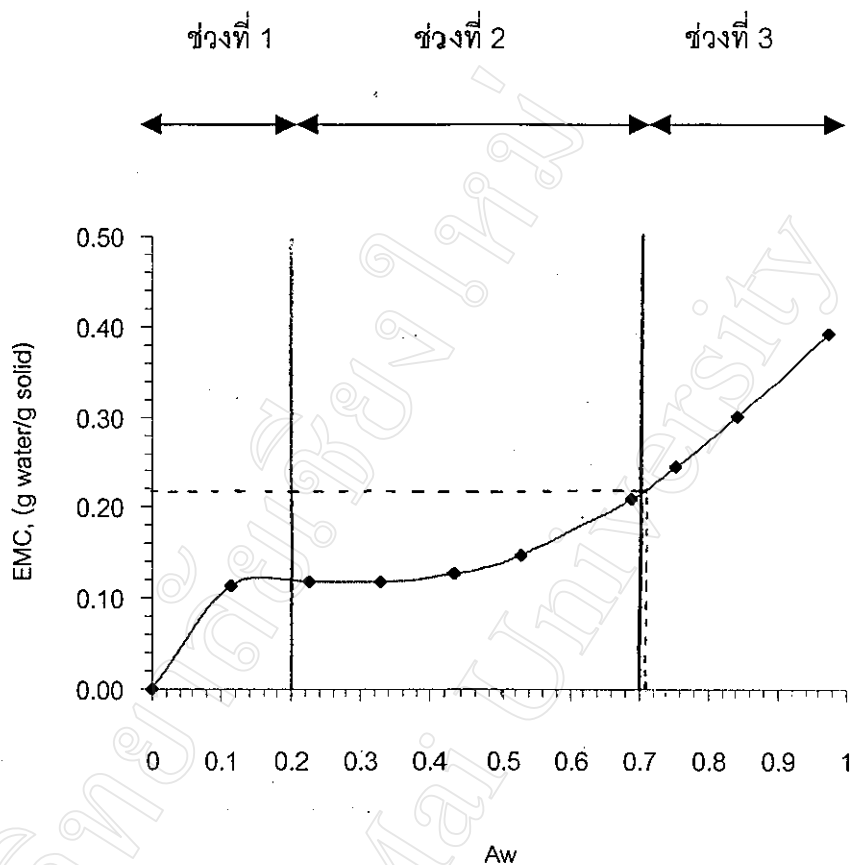
ลำไยอบแห้งมีความชื้นประมาณ 12.63 % (w.b.) จากนั้นนำเข้ามูลของความชื้นที่สมดุลย์ต่างๆ (Equilibrium Moisture Content, EMC) กับค่า Aw (ตารางที่ 4.5) มาใช้ในการสร้างกราฟเพื่อให้ได้ค่า Water Sorption Isotherm ของตัวอย่างลำไยอบแห้งแบบแกะเปลือก (ดังรูปที่ 4.27) ซึ่งกราฟจะแสดงพฤติกรรมการดูดซับน้ำของตัวอย่างลำไยเมื่อยูในสภาวะสมดุลย์ที่ทราบค่า Aw (ซึ่งคือความชื้นสัมพัทธ์ของอากาศภายในภาชนะ PEC) ณ อุณหภูมิ 25 °C จากกราฟเป็น Adsorption Isotherm พบร่วมความชื้นสัมพัทธ์ สมดุลย์ของลำไยที่จะค่อยๆ เพิ่มขึ้นตามค่า Aw เนื่องจากเนื้อลำไยแห้งจะมีลักษณะเป็น Hygroscopic (เมื่อความชื้นสัมพันธ์ของอากาศเพิ่มขึ้น อาหารมีความสามารถในการดูดความชื้น) เส้นกราฟที่ได้มีลักษณะเป็นเส้นโค้งรูป Sigmoid curve ลักษณะกราฟจะแบ่งได้เป็น 3 ช่วงคือ

ช่วงที่ 1 เป็น Tightly bound water มีลักษณะกราฟค่อนข้างชัน เนื่องจากเป็นน้ำที่ถูกอาหารดูดซับไว้รอบๆ อาหารเป็นพิล์มบางๆ เพียงชั้นเดียว (Monolayer) เท่านั้น และจะมีคุณสมบัติเป็นส่วนหนึ่งของอาหารที่มีความคงตัวต่ำมาก ไม่ว่าที่อุณหภูมิใดๆ ก็ไม่สามารถทำให้น้ำส่วนนี้แข็งตัวได้และน้ำส่วนนี้จะดูดยึดแน่นมาก ค่า Aw ของผลิตภัณฑ์ลำไยอบแห้งแบบแกะเปลือกอยู่ในช่วง 0 – 0.20

ช่วงที่ 2 เป็น Moderate bound water จะมีเส้นกราฟค่อนข้างราบ น้ำในส่วนนี้เป็นน้ำที่อาหารดูดซับเพิ่มขึ้นมาจากการ Monolayer เป็นน้ำที่เกาะตัวกันอย่างหลวมๆ มีการดูดยึดกันน้อยกว่าน้ำในส่วนที่ 1 มีค่า Aw อยู่ในช่วง 0.20 – 0.67

ช่วงที่ 3 เป็น Loosely bound water เป็นน้ำที่รวมตัวกันอยู่ตามช่องว่างระหว่างส่วนประกอบของอาหาร จุลินทรีย์สามารถนำไปใช้ในการเจริญเติบโตได้ รวมทั้งสามารถทำให้เกิดปฏิกิริยาการเปลี่ยนแปลงได้ มีค่า Aw มากกว่า 0.67

จากการแบ่งเส้นกราฟออกเป็น 3 ช่วงนี้ได้สอดคล้องกับทฤษฎีของ Gastavo and Humberto (1996) ที่ได้กล่าวถึงการยึดเกาะของน้ำโดยมีค่า Aw ที่ต่างกันคือ Tightly bound water จะมีค่า Aw น้อยกว่า 0.3 , Moderate bound water จะมีค่า Aw อยู่ในช่วง 0.3 – 0.7 , Loosely bound water มีค่า Aw ที่มากกว่า 0.7 และ Free water ค่า Aw เท่ากับ 1



เส้นแสดงความชื้นลำไยที่ 21.95 % (d.b.) [หรือ 18.00 % (w.b.)] และ Aw ที่สมดุลย์กัน

รูปที่ 4.27 พฤติกรรมการดูดซับน้ำของตัวอย่างลำไยอบแห้งแบบแกะเปลือกเมื่ออยู่ในสภาวะสมดุลย์ที่ทราบค่า Aw ณ อุณหภูมิ 25 °C

เมื่อนำข้อมูลความชื้น (กรัมน้ำต่อกิโลกรัมของแข็ง) และค่า Aw ในช่วงที่ 3 ไปทำการ regression จะได้ความสัมพันธ์ระหว่างความชื้นที่สมดุลย์ของลำไยอบแห้งแบบแกะเปลือกกับค่า Aw ของสารละลายเกลืออิมตัวได้สมการดังนี้

$$EMC = 0.6516 + 0.2431Aw, \quad R^2 = 0.998$$

แสดงว่าค่าปริมาณความชื้นสมดุลย์ของลำไยอบแห้งแบบแกะเปลือกเปลี่ยนผันแปรกับค่า Aw ที่มากกว่า 0.7 โดยเมื่อค่า Aw เพิ่มขึ้นค่า EMC ก็จะเพิ่มขึ้นตาม และถ้าค่า Aw ลดลงค่า EMC ก็จะลดลงเช่นเดียวกัน

จากตารางที่ 4.5 พบร่วมความชื้นสมดุลย์(EMC)ของลำไยอบแห้งแบบแกะเปลือกจะเปลี่ยนไปตามค่า Aw ของสารละลายเกลืออิมตัว(หรือความชื้นสัมพัทธ์ของอากาศ) ลำไยที่มีความชื้นประมาณ 12.63 % (d.b.) จะเกิดความสมดุลย์กับ Aw ประมาณ 0.347 หากค่า Aw มีค่าเพิ่มขึ้นมากกว่า 0.347 ลำไยแห้งจะมีความชื้นสมดุลย์เพิ่มจนสมดุลย์กับค่า Aw ในมีในทางตรงกันข้ามถ้าค่า Aw ต่ำกว่า 0.347 ลำไยแห้งก็จะมีความชื้นลดลง เพราะมีการถ่ายเทความชื้นให้กับอากาศจนกว่าจะเกิดความสมดุลย์ สำหรับมาตรฐานลำไยอบแห้งแบบแกะเปลือกได้กำหนดให้มีความชื้นที่ต่ำกว่า 21.95 % (d.b.) ซึ่งจะสมดุลย์กับค่า Aw ประมาณ 0.709 แต่ในสภาพความเป็นจริงความชื้นสัมพัทธ์ของอากาศจะเปลี่ยนแปลงไปตามอุณหภูมิของอากาศ และความชื้นสัมพัทธ์ของอากาศจะมีความแตกต่างกันทั้งในกลางวันและกลางคืน โดยเฉพาะในฤดูฝนความชื้นสัมพัทธ์จะมีค่าสูงถึง 80 - 90 % (ตารางภาคผนวกที่ 1) ถ้าเก็บลำไยแห้งไว้ในสภาพที่ไม่เหมาะสมอย่างการทำให้เกิดการเปลี่ยนแปลงความชื้นได้ จากรูปที่ 4.27 ถ้าค่า Aw มากกว่า 0.7 จะทำให้ลำไยมีความชื้นเพิ่มขึ้นซึ่งเป็นความชื้นที่มากกว่าค่าที่มาตรฐานกำหนดอาจเกิดปัญหาการเริ่มราของเชื้อราทำให้การเก็บรักษาไว้ได้ไม่นาน ดังนั้นจึงต้องมีการควบคุมในเรื่องการเก็บรักษาและปรับสภาพแวดล้อมในการเก็บรักษาให้เหมาะสม เช่นอาจมีการใส่ชิลิกาเจลไว้ในถุงที่เก็บลำไยเพื่อเป็นตัวช่วยดูดซับความชื้น

ตารางที่ 4.5 ค่าเฉลี่ยความชื้นสมดุลย์ของลำไยอบแห้งแบบแกะเปลือกและค่า Aw ของสารละลายเกลืออิมตัว

สารละลายเกลือ	ค่า Aw ของสารละลายเกลืออิมตัว	ค่าเฉลี่ย EMC
Lithium chloride	0.113	0.1142
Potassium acetate	0.225	0.1188
Magnesium chloride	0.328	0.1186
Potassium carbonate	0.432	0.1280
Magnesium nitrate	0.529	0.1471
Potassium iodide	0.689	0.2091
Sodium chloride	0.753	0.2459
Potassium chloride	0.843	0.3020
Potassium sulfate	0.973	0.3936